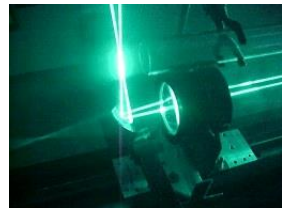


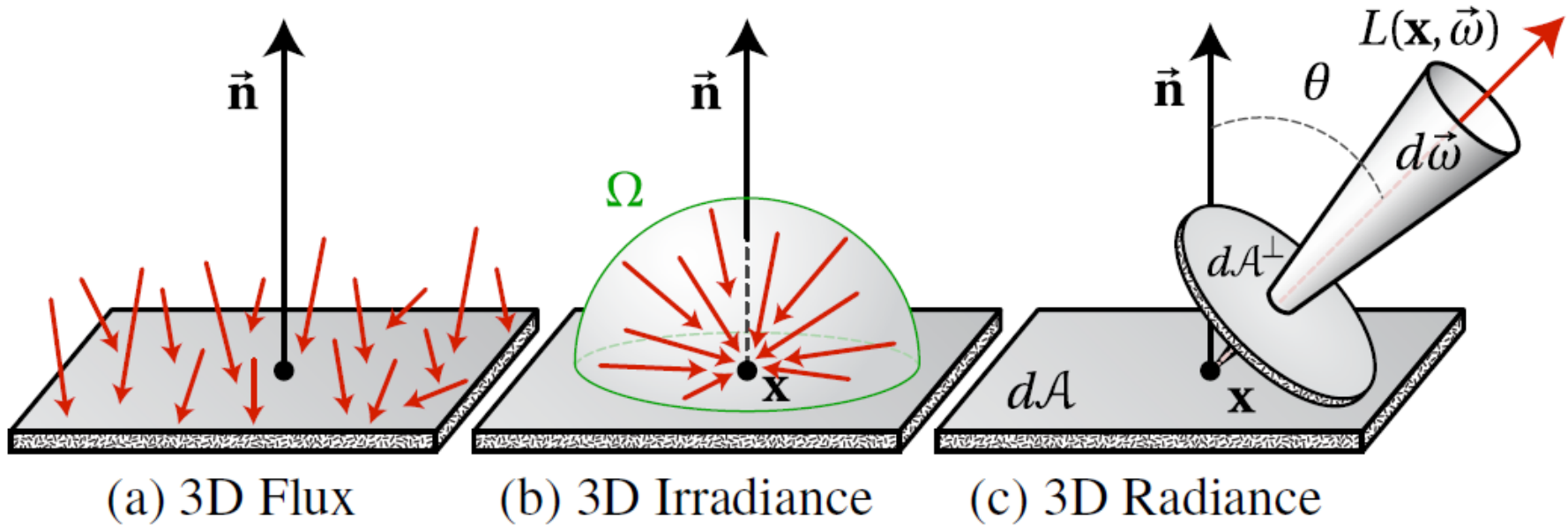
Počítačová grafika III – Odraz světla, BRDF

Jaroslav Křivánek, MFF UK

Jaroslav.Krivanek@mff.cuni.cz



Základní radiometrické veličiny



Interakce světla s povrchem

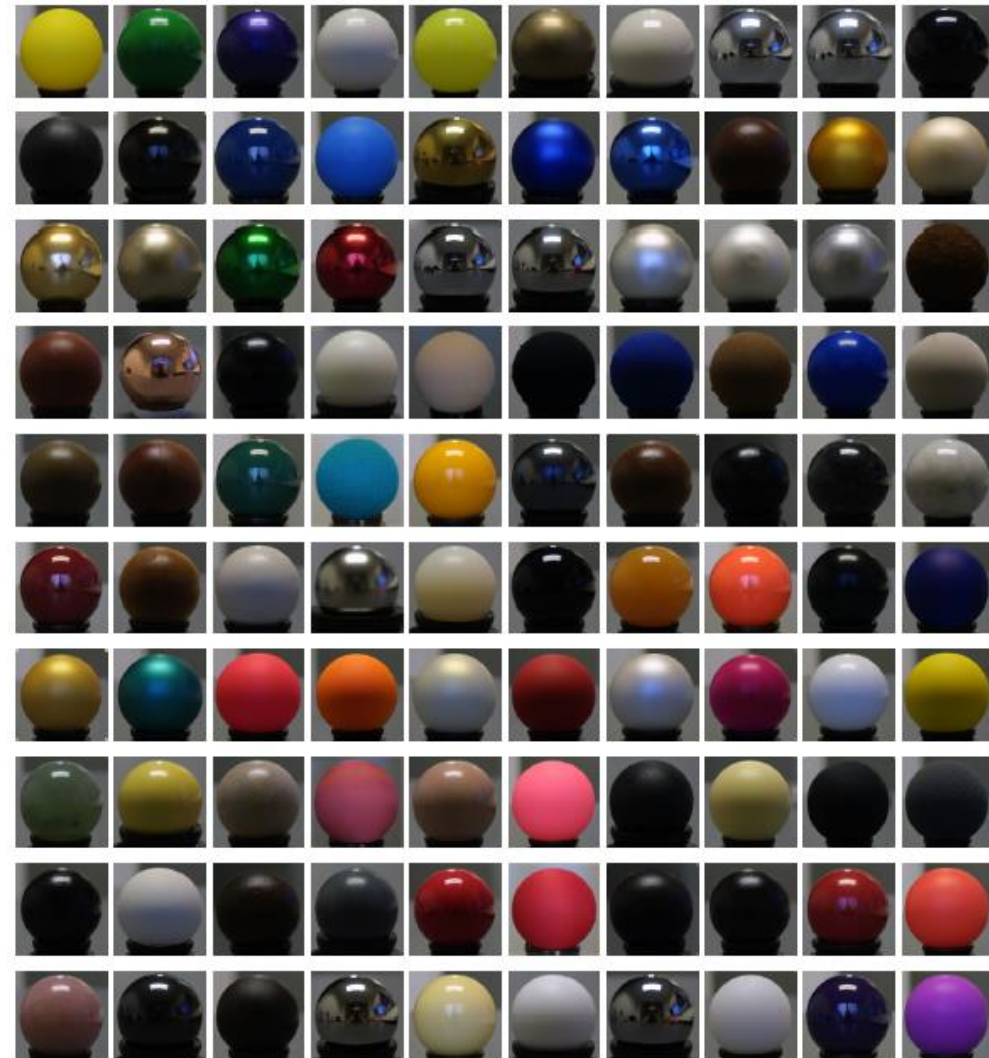
- Absorbce
- Odraz
- Lom
- Rozptyl pod povrchem

- Odrazivé vlastnosti materiálu určují
 - Vztah **odražené** radience L_r k **příchozí** radianci L_i
 - **Vzhled** objektu: barva, lesklost atd.

- Neboli: materiál určuje odezvu povrchu na osvětlení

Interakce světla s povrchem

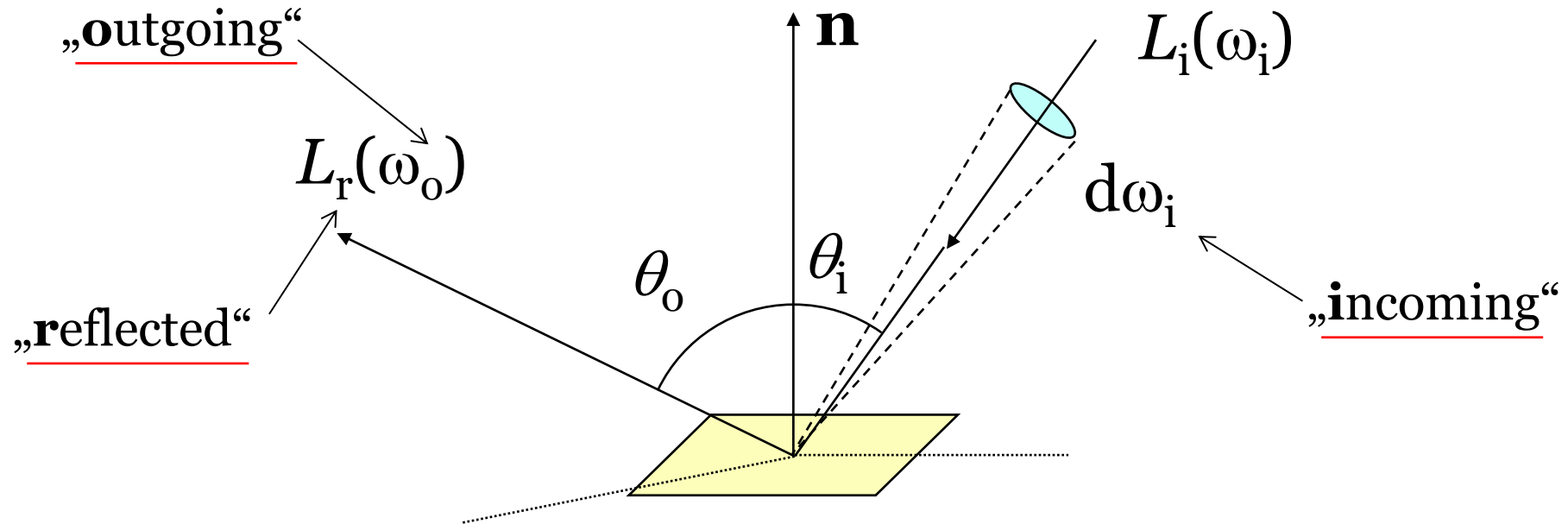
- Stejné osvětlení
- Různé materiály



Zdroj: MERL BRDF database

BRDF

- Bidirectional reflectance distribution function
- Dvousměrová distribuční funkce odrazu



$$f_r(\omega_i \rightarrow \omega_o) = \frac{dL_r(\omega_o)}{dE(\omega_i)} = \frac{dL_r(\omega_o)}{L_i(\omega_i) \cdot \cos \theta_i \cdot d\omega_i} \quad [\text{sr}^{-1}]$$

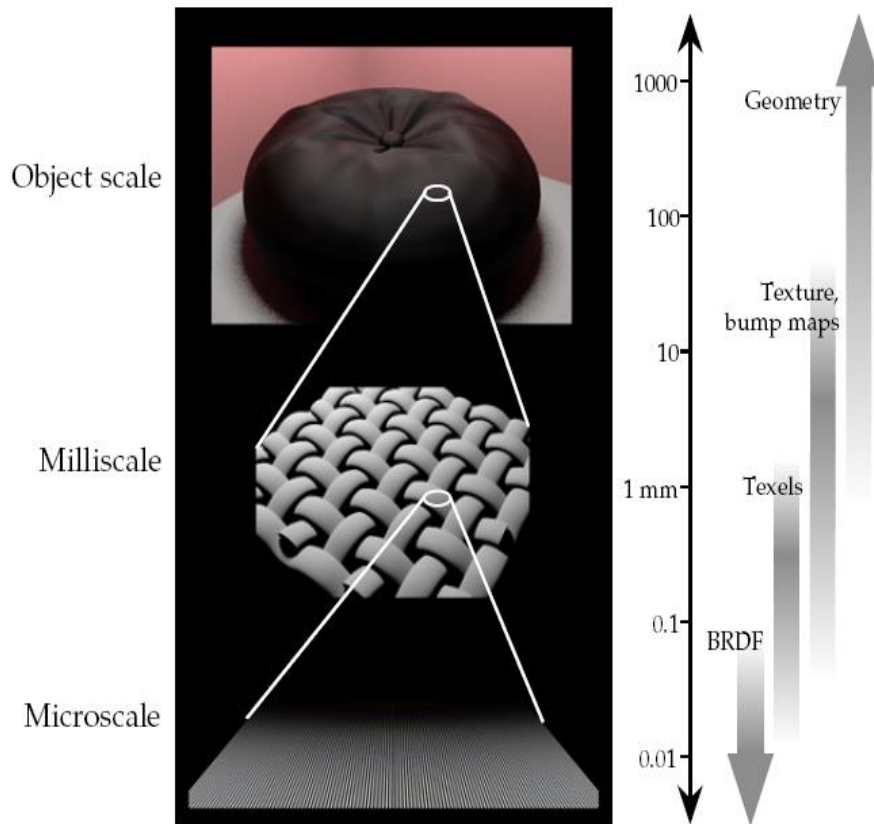
BRDF

- Matematický popis odrazivých vlastností povrchu
- Intuice
 - **Hodnota BRDF = hustota pravděpodobnosti**, že „foton“, který dopadne na plochu ze směru ω_i bude odražen ve směru ω_o .
- Obor hodnot:

$$f_r(\omega_i \rightarrow \omega_o) \in [0, \infty)$$

BRDF

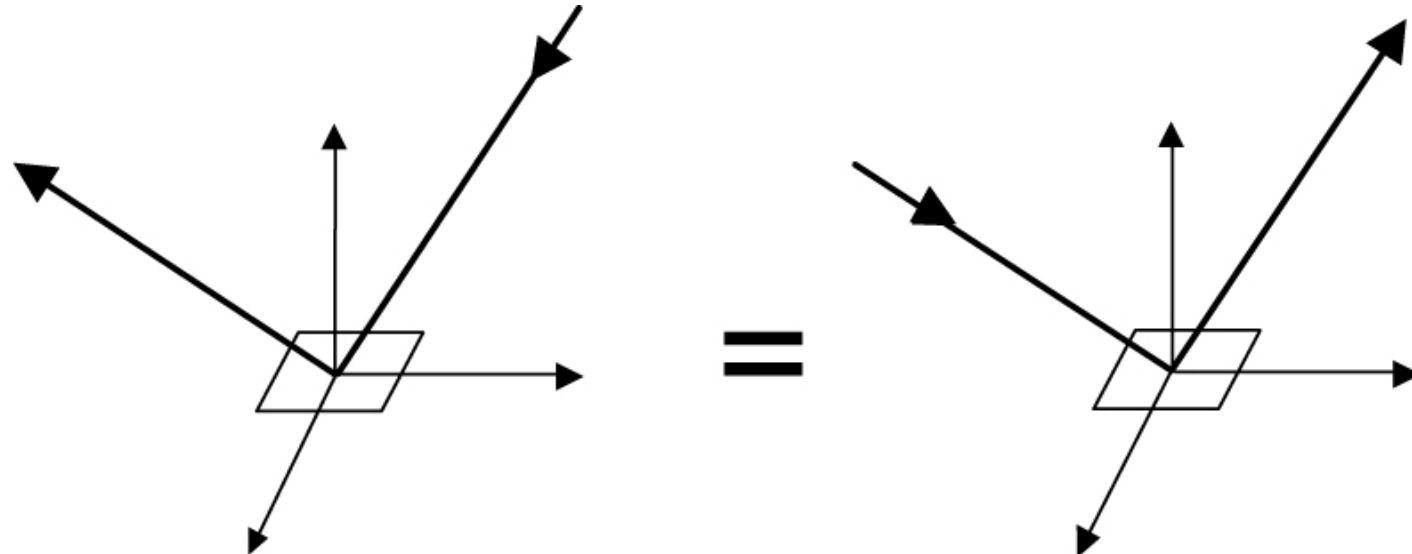
- BRDF je **modelem** mikrostruktury při pohledu z dálky



Vlastnosti BRDF

- Helmholzova reciproita (fyzikálně korektní BRDF)

$$f_r(\omega_i \rightarrow \omega_o) = f_r(\omega_o \rightarrow \omega_i)$$

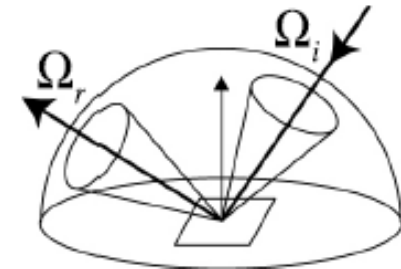


Vlastnosti BRDF

■ Zachování energie

- ❑ Odražený tok na jednotku plochy (tj. radiosita B) nemůže být větší než příchozí tok na jednotku plochy (tj. irradiance E).

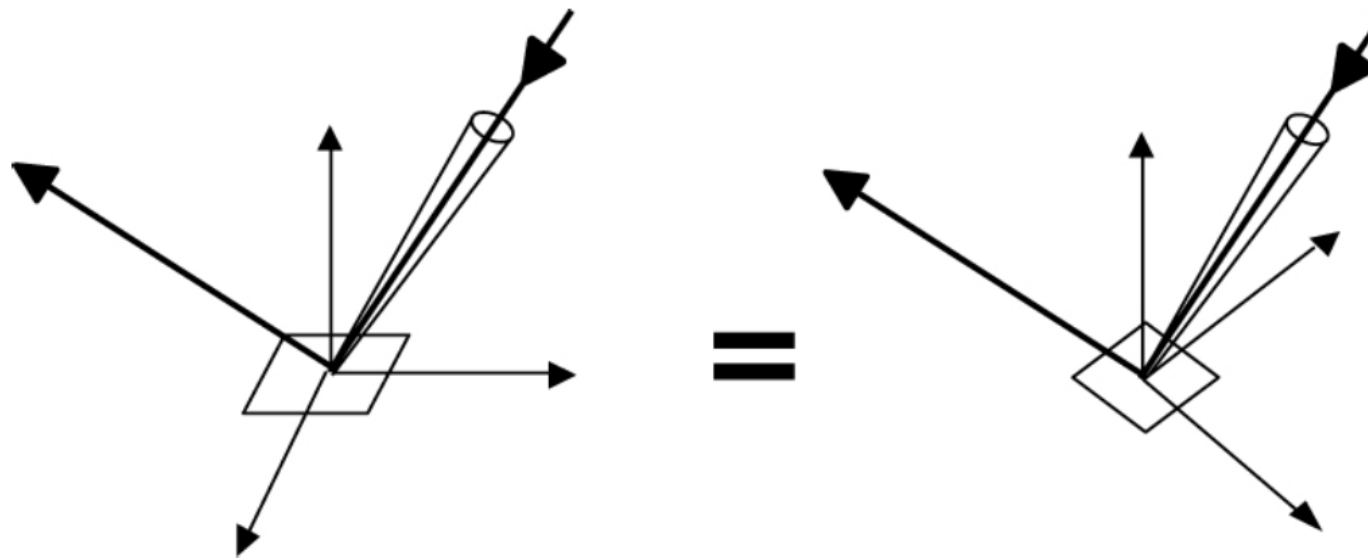
$$\begin{aligned} \frac{B}{E} &= \frac{\int L_r(\omega_o) \cos \theta_o d\omega_r}{\int L_i(\omega_i) \cos \theta_i d\omega_i} = \\ &= \frac{\int \left[\int f_r(\omega_i \rightarrow \omega_o) L_i(\omega_i) \cos \theta_i d\omega_i \right] \cos \theta_o d\omega_o}{\int L_i(\omega_i) \cos \theta_i d\omega_i} = \\ &\leq 1 \end{aligned}$$



Vlastnosti BRDF – (An)izotropie

- Izotropní BRDF = invariantní k otočení kolem normály

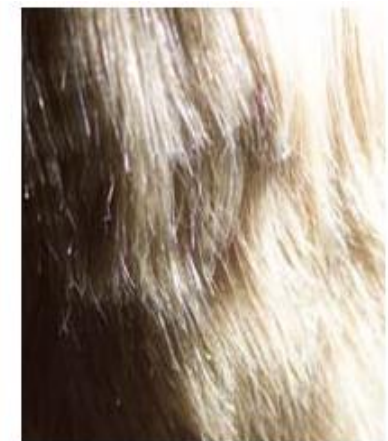
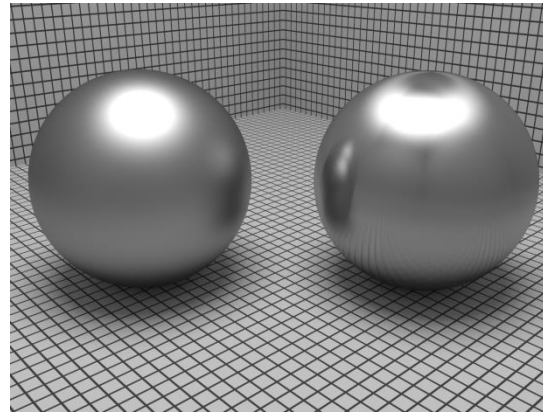
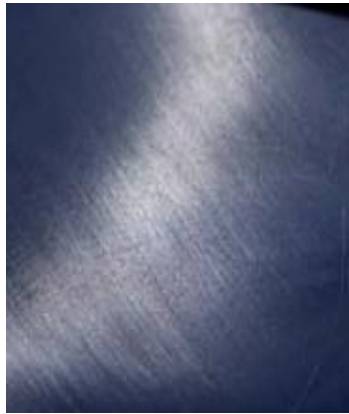
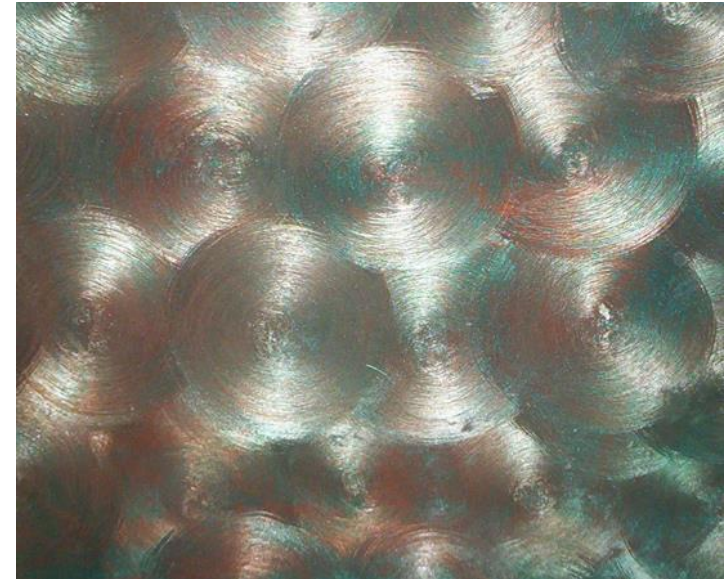
$$\begin{aligned}f_r(\theta_i, \phi_i ; \theta_o, \phi_o) &= f_r(\theta_i, \phi_i + \phi ; \theta_o, \phi_o + \phi) \\&= f_r(\theta_i, \theta_o, \phi_o - \phi_i)\end{aligned}$$



Anizotropní BRDF



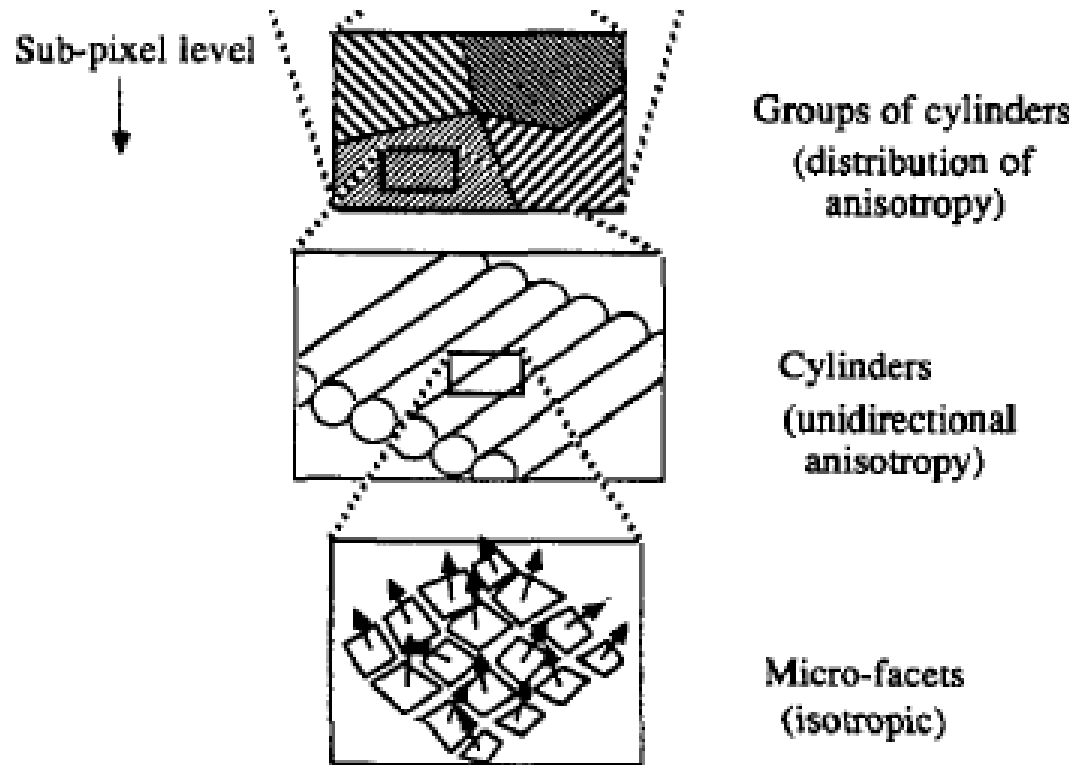
Figure 9: Anisotropic Aluminum Wheel



fibers

Anizotropní BRDF

- Různá mikroskopická hrubost povrchu v různých směrech (broušené kovy, tkaniny, ...)



Anizotropní BRDF – Shrnutí

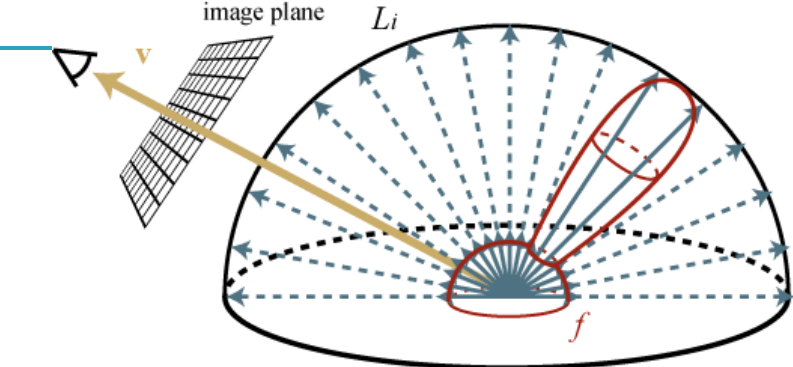
- Otočím-li plochu kolem normály, změní se vzhled
- **Izotropní BRDF** mají jen 3 stupně volnosti
 - Místo ϕ_i a ϕ_o stačí uvažovat pouze $\Delta\phi = \phi_i - \phi_o$
 - To pro popis anizotropní BRDF nestačí
- Popis **anizotropní BRDF**
 - ϕ_i a ϕ_o se musí vztáhnout k **referenčnímu souřadnému systému** (U, V, N)
 - U ... tangenta – směr broušení kovu
 - V ... binormála
 - N ... normála ... osa Z lokálního souřadného systému

Rovnice odrazu

- Reflectance equation, illumination integral, OVTIGRE (“outgoing, vacuum, time-invariant, gray radiance equation”)
- “Kolik světla je odraženo do směru ω_o ?“
(v závislosti na množství příchozího světla L_i a materiálu povrchu f)
- Z definice BRDF

$$dL_r(\omega_o) = f_r(\omega_i \rightarrow \omega_o) \cdot L_i(\omega_i) \cdot \cos \theta_i \, d\omega_i$$

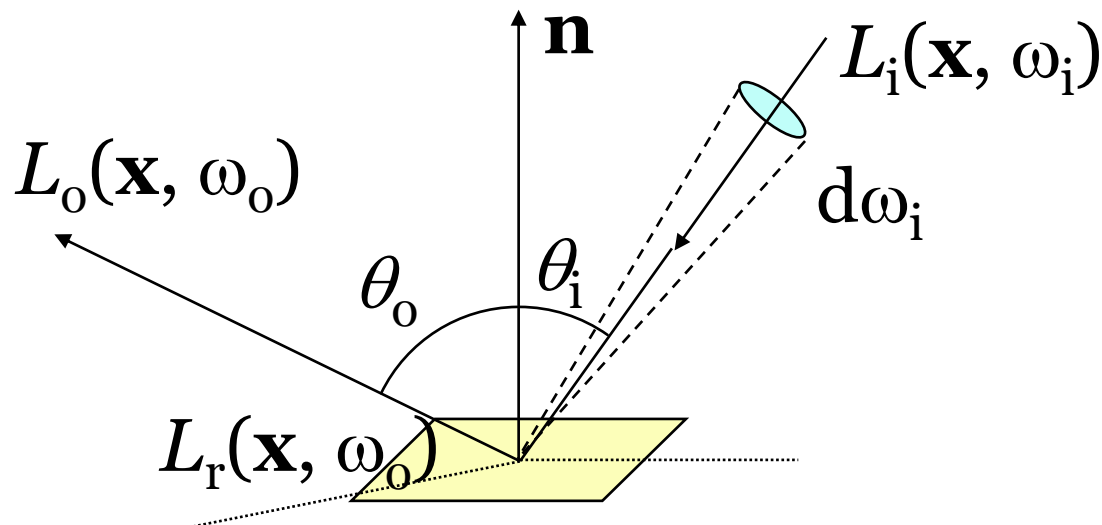
Rovnice odrazu



- „Sečtení“ (integrál) příspěvků dL_r přes celou hemisféru:

$$L_r(\mathbf{x}, \omega_o) = \int_{\text{hemisféra}} L_i(\mathbf{x}, \omega_i) \cdot f_r(\mathbf{x}, \omega_i \rightarrow \omega_o) \cdot \cos \theta_i \, d\omega_i$$

hemisféra



Rovnice odrazu

- Vyhodnocením rovnice odrazu se dají renderovat obrázky!!!
 - Přímé osvětlení
 - mapy prostředí
 - plošné zdroje
 - atd.

Odraživost (reflektance)

- Poměr **příchozího** a **odraženého toku**.
 - A.k.a. „albedo“ (pro difúzní odraz)
- **Hemisféricko-hemisférická** odrazivost
 - Viz slide „zachování energie“
- **Hemisféricko-směrová** odrazivost
 - „Kolik světla se odrazí do směru ω_o při osvětlení **uniformní jednotkovou příchozí radiancí**.“

$$\rho(\omega_o) = a(\omega_o) = \int_{H(\mathbf{x})} f_r(\mathbf{x}, \omega_i \rightarrow \omega_o) \cos \theta_i \, d\omega_i$$

Hemisféricko-směrová odrazivost

- Nezáporná
- Menší nebo rovna 1
(zachování energie)
- Ekvivalentní se **směrovo-hemisférickou**
odrazivostí
 - „Jaké procento světelného toku příchozího ze směru ω_i je
odraženo (do libovolného směru)?“
 - Ekvivalence z Helmholtzovy reciprocity pro BRDF

$$\rho(\omega_o) \in [0, 1]$$

Albedo

- ♦ fraction of light reflected from a diffuse surface
 - usually refers to an average across the visible spectrum

- ♦ examples

• clouds	80%
• fresh snow	80%
• old snow	40%
• grass	30%
• soil	15%
• rivers	7%
• ocean	3%

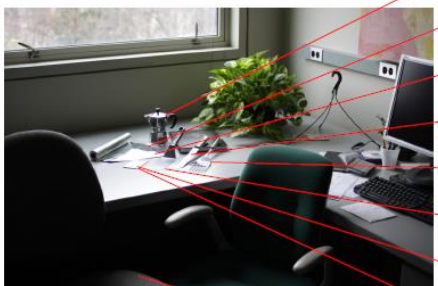
equality explains
“whiteout” in blizzards

not including mirror
reflections of the sun

Diffuse albedo and total reflectance measurements

Jaroslav Křivánek
Nov 09, 2009

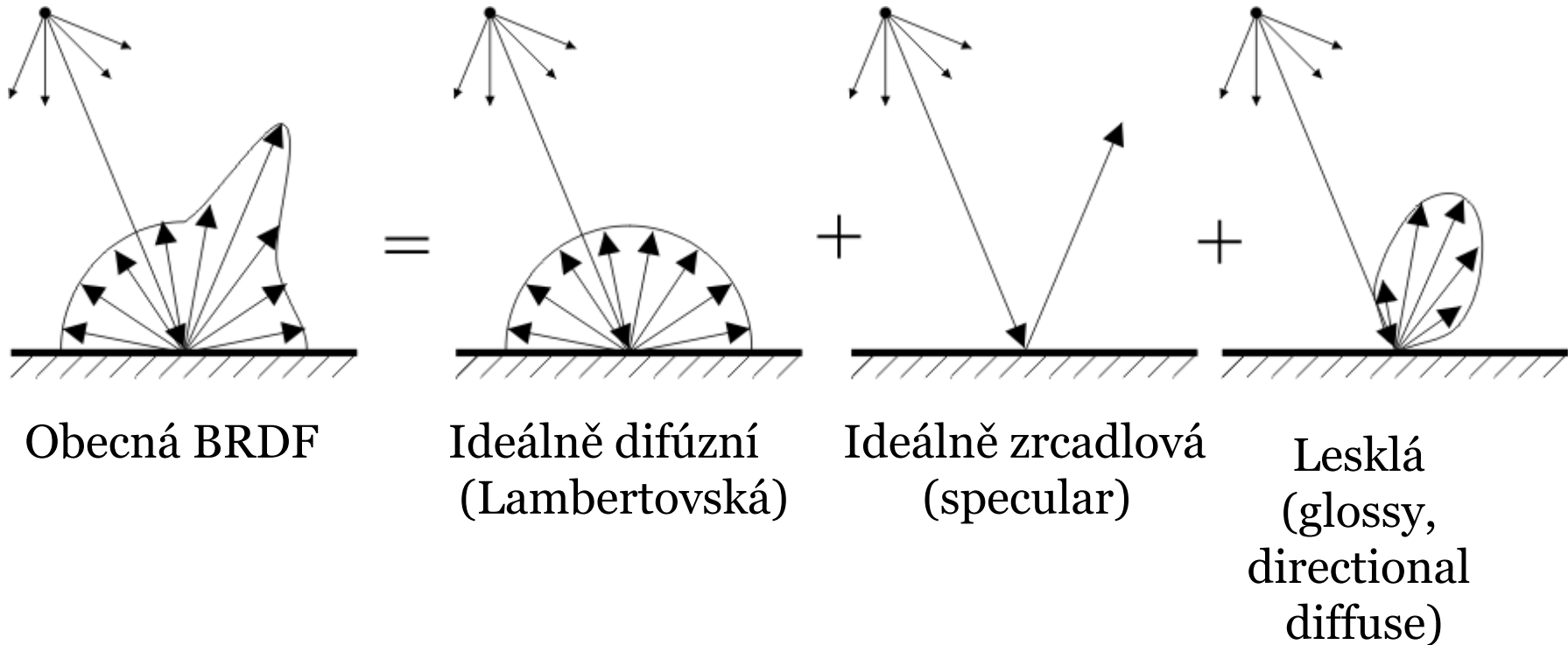
Procedure briefly described on page 2.



object / material	diffuse albedo (%)	total reflectance (%) (very approximate)
bialetti espresso maker (brand new)	3.2	90
aluminum foil top	1.2	90
aluminum foil bottom	2.9	85
knife blade	1.4	60
spatula (chrome)	0.9	85
pizza spatula (scratched)	2.2	60
rhodes light switch cover - top (coarse finish - aniso)	2.7 / 9.3 *	50
rhodes light switch cover - bottom 1.0 (polished)	1.0	70
chair upholstery	from (6.5, 6, 5.5) to (13, 12, 11)	
plant leaf	green from (6, 12, 5) to (11 18 8) yellow from (27, 36, 19) to (31, 42, 16) (35, 35, 34)	
rhodes office desk		
plastic cup		
notebook paper (yellowish)	(89, 80, 71)	
plate	(83, 81, 71)	
paper plate	(82, 80, 78)	
wood	from (50, 30, 19) to (80, 53, 34)	
rhodes office wall paint	(64, 60, 51)	
rhodes office door paint	(24, 25, 22)	
file cabinet (gray paint)	(6.6, 6.6, 6.4)	
rhodes carpet	(18, 15, 13)	
dark reddish wood	from (18, 9, 4) to (33, 17, 8)	
milos's thesis binding	2.8	
canon lens cap (black plastic)	2.7	
cornell recycle bin (blue plastic)	(1, 5, 25)	

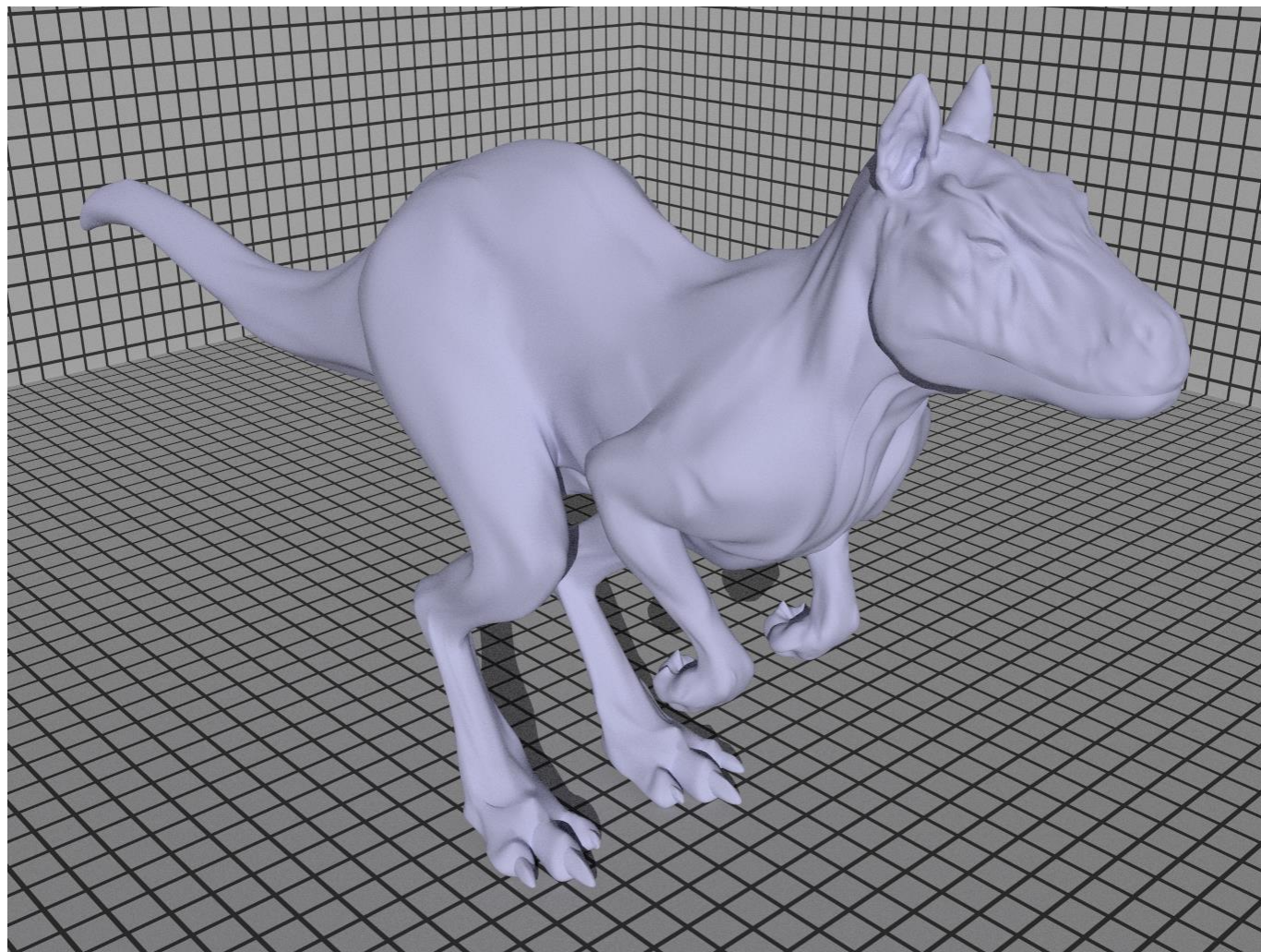
* viewing along scratches / perpendicular to scratches

Komponenty BRDF



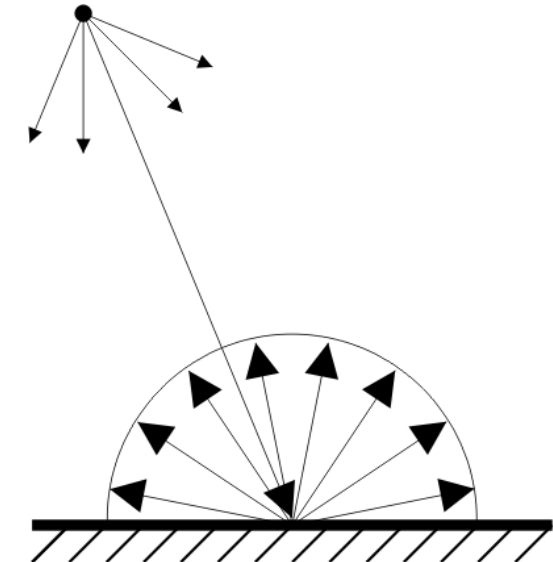
Ideálně difúzní odraz

Ideálně difúzní odraz



Ideálně difúzní odraz

- A.k.a. Lambertovský odraz
 - Johann Heinrich Lambert, „Photometria“, 1760.



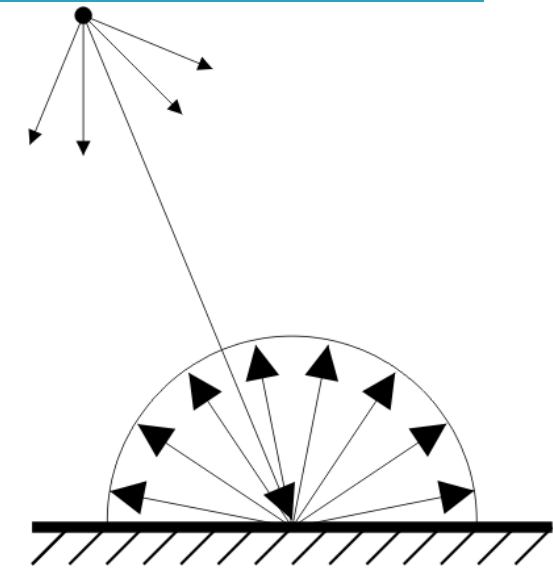
- Předpoklad – světlo se se stejnou pravděpodobností odrazí do všech směrů (nezávisle na příchozím směru)
- Konstantní BRDF (nezávislá na ω_i , ω_o)

$$f_{r,d}(\omega_i \rightarrow \omega_o) = f_{r,d}$$

Ideálně difúzní odraz

- Odraz na Lambertovském povrchu:

$$L_o(\omega_o) = f_{r,d} \int_{H(\mathbf{x})} L_i(\omega_i) \cos \theta_i \, d\omega_i$$
$$= f_{r,d} E$$



irradiance

- **Pohledově nezávislý odraz**

- L_o nezávisí na ω_o

- **Odrazivost** (odvod'te)

$$\rho_d = \pi \cdot f_{r,d}$$

Ideálně difúzní odraz

- Neexistuje!
- Výrobci barev se snaží
- Neplatí obzvláště pro velké úhly incidence

Bílá tma

- Při zatažené obloze nepoznáme tvar terénu pokrytého sněhem.



- Blízko zdroje osvětlení tento problém nemáme.



- PROČ?

Bílá tma

- Předpokládáme konstantní radianci z oblohy

$$L_i(\mathbf{x}, \omega_i) = L^{\text{obloha}}$$

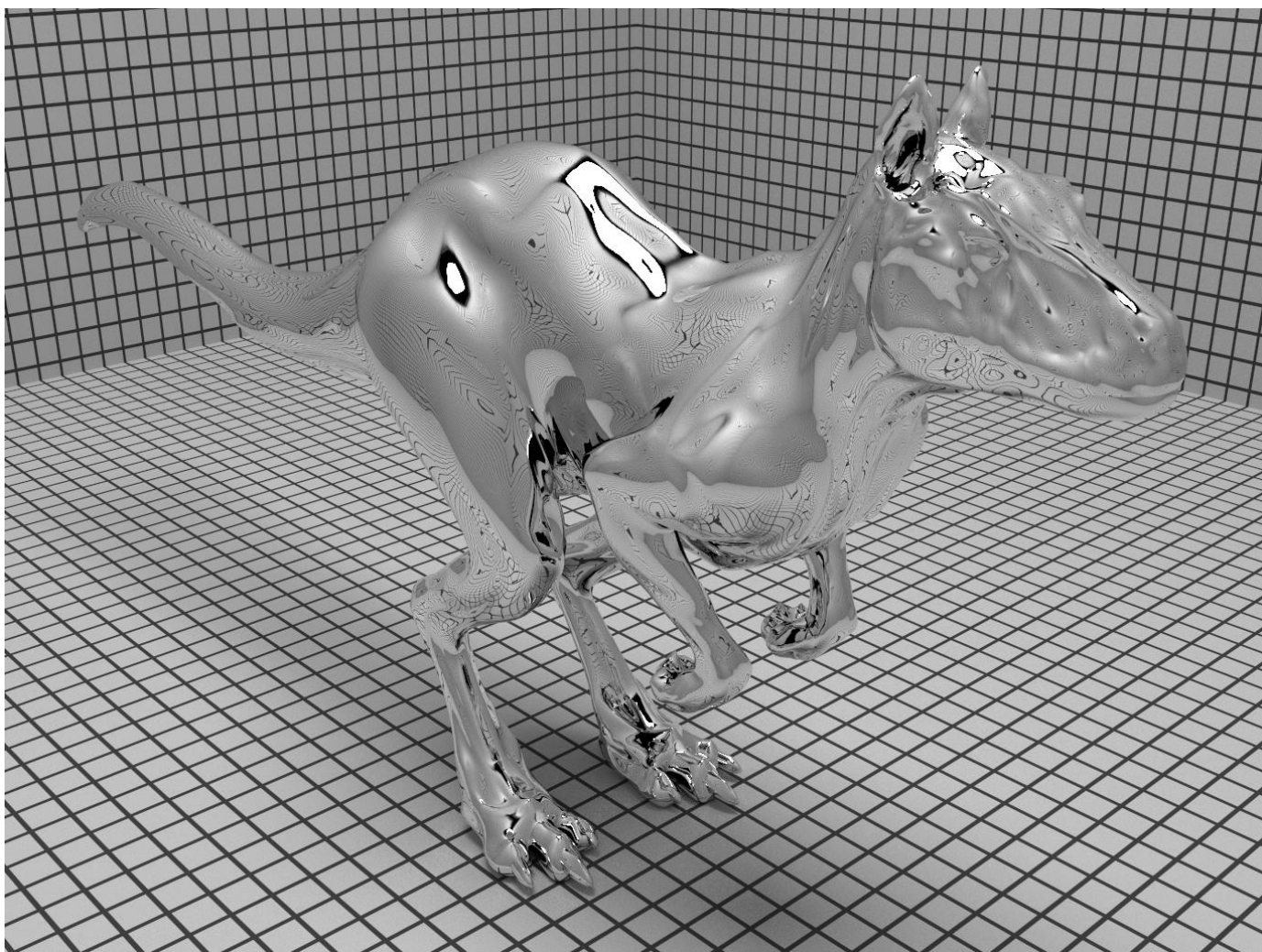
- Předpokládejme Lambertovský sníh
- Odražená radiance:

$$L_o^{\text{sníh}} = \rho_d^{\text{sníh}} \cdot L_i^{\text{obloha}}$$

Bílá tma!!!

Ideální zrcadlový odraz

Ideální zrcadlový odraz



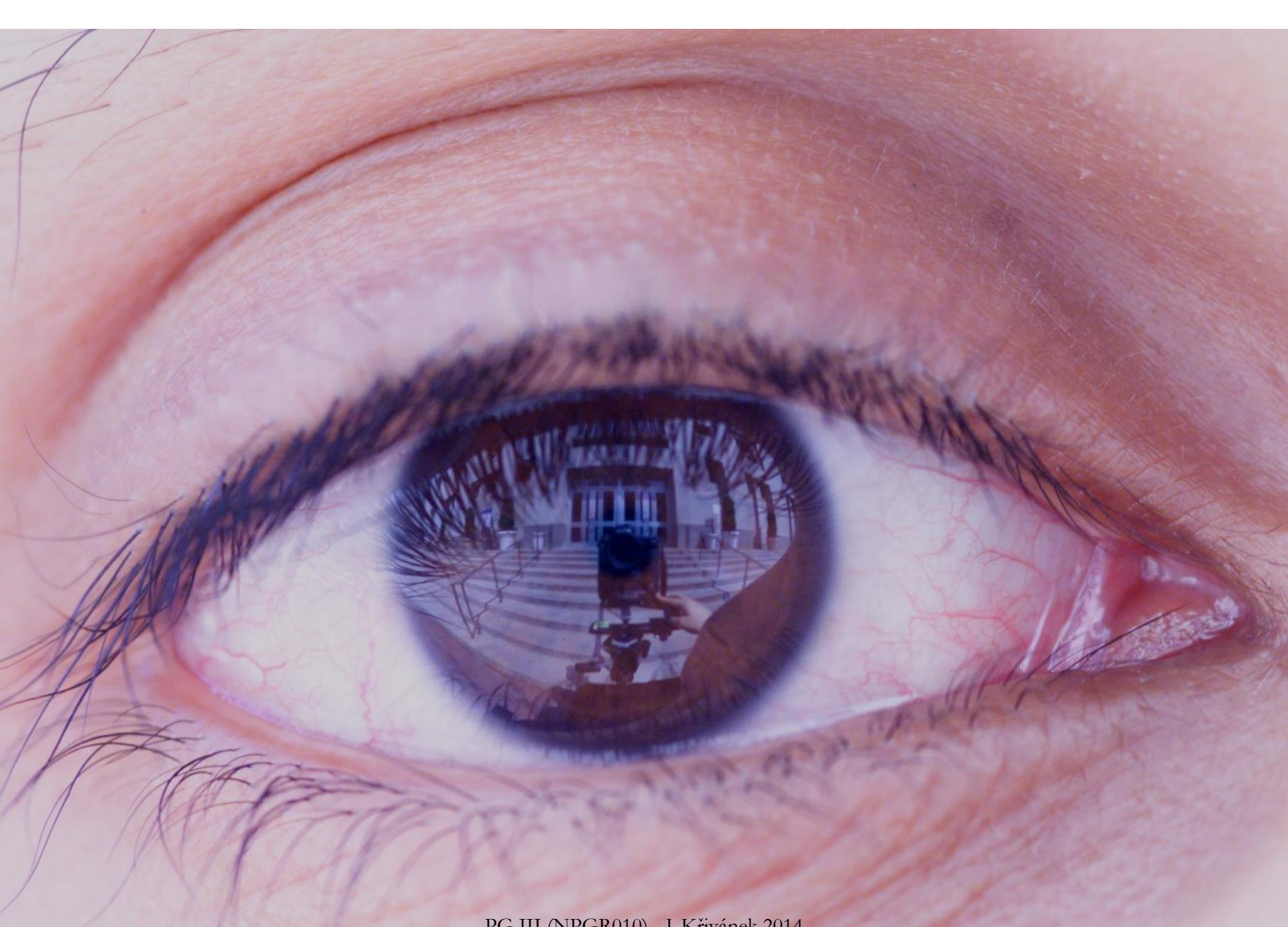
Reflections From the Surface of Water



Smooth Water Surface



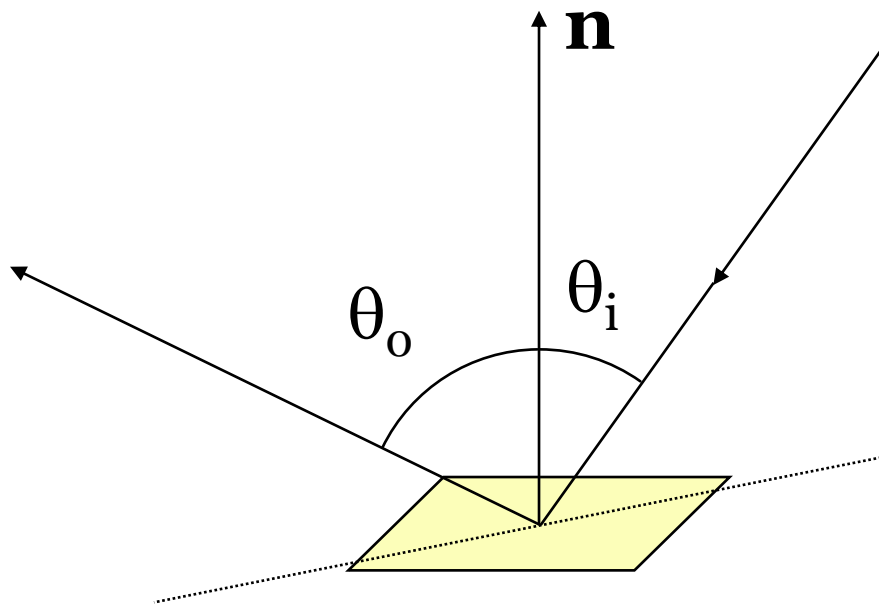
Wavy Water Surface



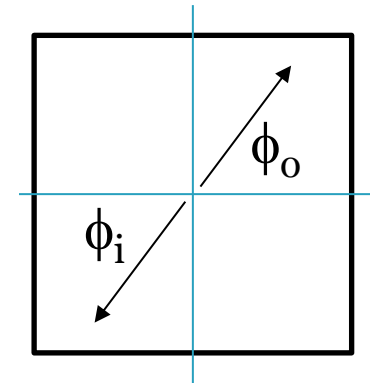
PG III (NPGR010) - J. Křivánek 2014

Nishino, Nayar: Eyes for Relighting, SIGGRAPH 2004

Zákon odrazu



$$\theta_o = \theta_i$$



$$\phi_o = (\phi_i + \pi) \bmod 2\pi$$

- Směr odraženého paprsku

$$\omega_o = 2(\omega_i \cdot \mathbf{n})\mathbf{n} - \omega_i$$

Odbočka: Diracova Delta distribuce

- **Definice** (neformální):

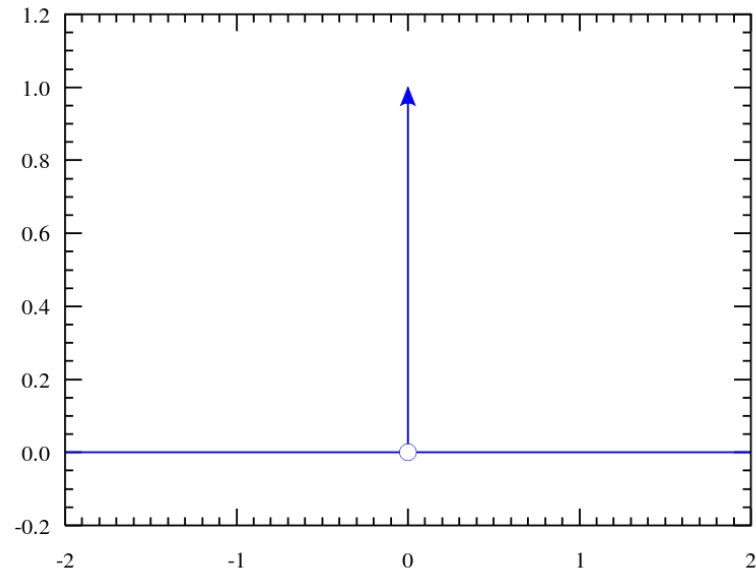
$$\delta(x) = \begin{cases} +\infty, & x = 0 \\ 0, & x \neq 0 \end{cases}$$

$$\int_{-\infty}^{\infty} \delta(x) dx = 1.$$

- **Platí:**

$$\int_{-\infty}^{\infty} f(x)\delta(x) dx = f(0)$$

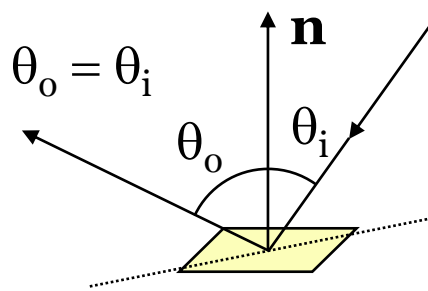
- Delta distribuce **není** funkce (jinak by integrály byly = 0)
- Zápisy nahoře jsou čistě formální



Zdroj: Wikipedia

Ideální zrcadlový odraz – BRDF

- BRDF zrcadlového odrazu je delta-distribuce



Musí platit:

$$L_r(\theta_o, \varphi_o) = R(\theta_i) L_i(\theta_o, \varphi_o \pm \pi)$$

Odrazivost z Fresnelových vzorců

$$f_{r,m}(\theta_i, \varphi_i; \theta_o, \varphi_o) = R(\theta_i) \frac{\delta(\cos \theta_i - \cos \theta_o) \delta(\varphi_i - \varphi_o \pm \pi)}{\cos \theta_i}$$

Ideální zrcadlový odraz – BRDF

- BRDF zrcadlového odrazu je delta-distribuce
- Odvození:

$$\begin{aligned}L_r(\theta_o, \varphi_o) &= \int f_{r,m}(.) L_i(.) \cos \theta_i d\omega_i \\&= \int R(\theta_i) \frac{\delta(\cos \theta_i - \cos \theta_o) \delta(\varphi_i - \varphi_o \pm \pi)}{\cos \theta_i} L_i(\theta_i, \varphi_i) \cos \theta_i d\omega_i \\&= R(\theta_i) L_i(\theta_r, \varphi_r \pm \pi)\end{aligned}$$

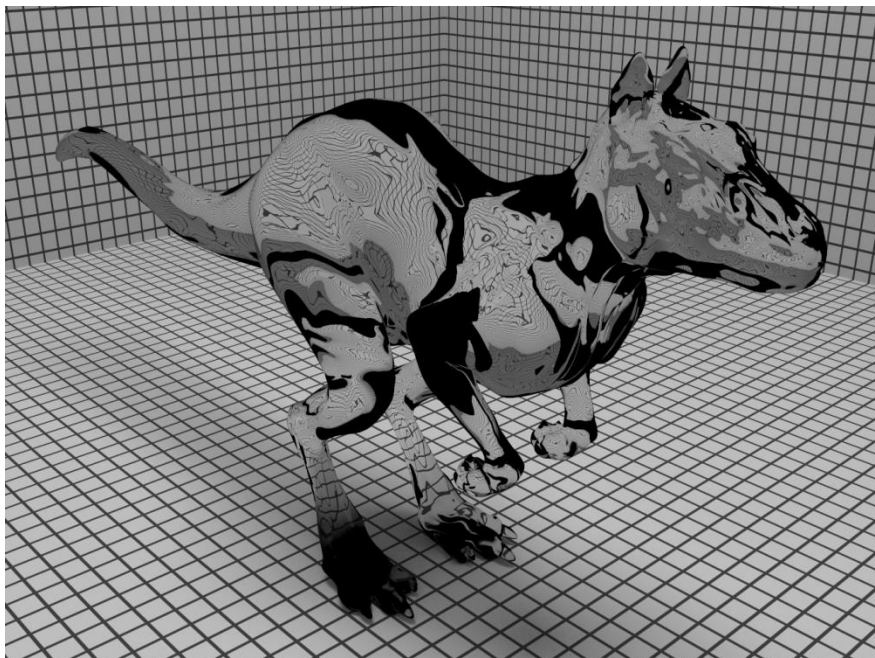
Diego Velázquez,
Venus at her
Mirror, 1647



Q. Who is Venus looking at in the mirror?

Ideální zrcadlový lom

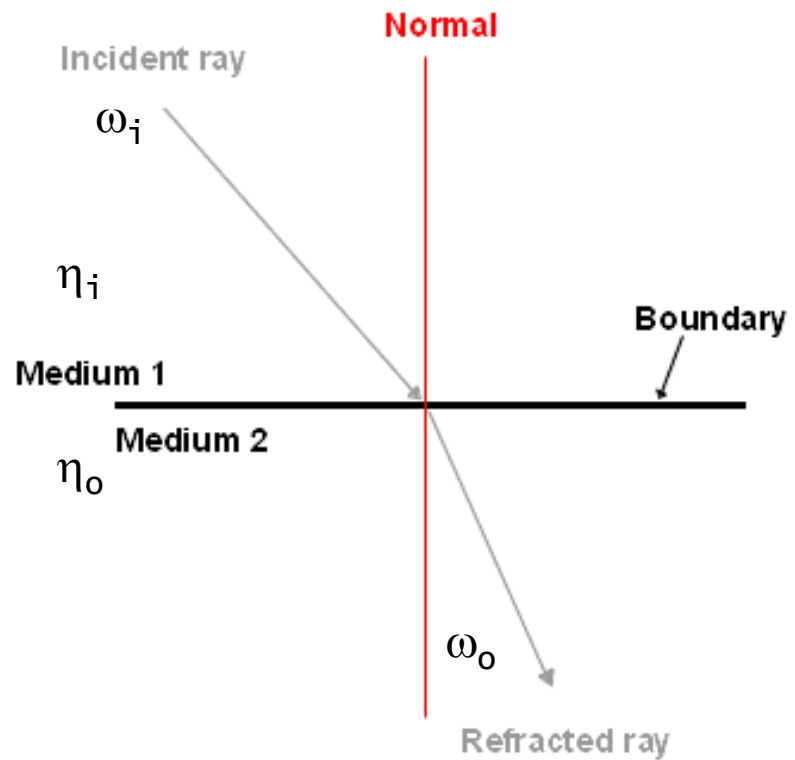
Ideální zrcadlový lom



Ideální zrcadlový lom

- **Index lomu η** (voda 1.33, sklo 1.6, diamant 2.4)
 - Závisí na vlnové délce světla!!!
- **Snellův zákon**

$$\eta_i \sin \theta_i = \eta_o \sin \theta_o$$



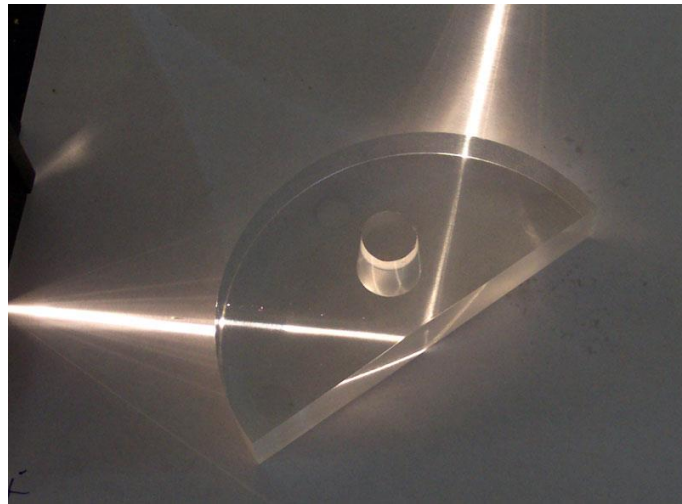
Ideální zrcadlový lom

■ Směr lomeného paprsku:

$$\omega_o = -\eta_{io}\omega_i - \left(\eta_{io} \cos \theta_i + \sqrt{1 - \eta_{io}^2 (1 - \cos^2 \theta_i)} \right) \mathbf{n}$$

$$\eta_{io} = \frac{\eta_i}{\eta_o}$$

pokud < 0 , **úplný odraz**
(total internal reflection)



zdroj: wikipedia

Kritický úhel:

$$\theta_{i,c} = \arcsin \left(\frac{\eta_o}{\eta_i} \right)$$

Ideální zrcadlový lom

- **Změna radience**
 - Ze zachování energie (toku)
 - Při přechodu světla z řidšího do hustšího prostředí je světlo „stlačeno“ => vyšší radience

$$L_o = L_i \frac{\eta_o^2}{\eta_i^2}$$

Ideální zrcadlový lom – BRDF

- BRDF pro ideální zrcadlový lom je delta distribuce:

$$f_t(\theta_i, \varphi_i; \theta_o, \varphi_o) = \frac{\eta_o^2}{\eta_i^2} (1 - R(\theta_i)) \frac{\delta(\eta_i \sin \theta_i - \eta_o \sin \theta_o) \delta(\varphi_i - \varphi_o \pm \pi)}{\cos \theta_i}$$

Změna radiance

Transmitance z Fresnelových vzorců

Snellův zákon

Lomený paprsek zůstává v rovině dopadu

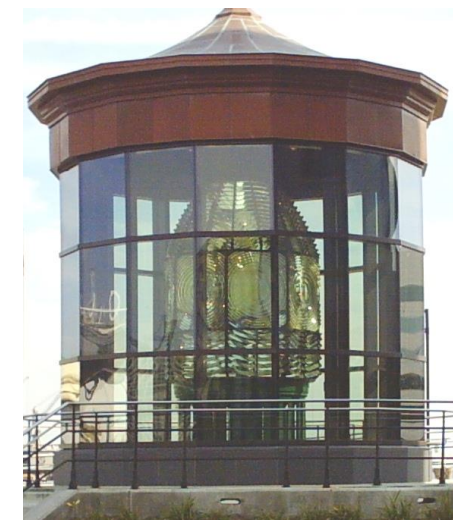
The diagram consists of four text labels with arrows pointing to specific parts of the equation. The first arrow points from 'Změna radiance' to the term $\frac{\eta_o^2}{\eta_i^2}$. The second arrow points from 'Transmitance z Fresnelových vzorců' to the term $(1 - R(\theta_i))$. The third arrow points from 'Snellův zákon' to the term $\delta(\eta_i \sin \theta_i - \eta_o \sin \theta_o)$. The fourth arrow points from 'Lomený paprsek zůstává v rovině dopadu' to the term $\delta(\varphi_i - \varphi_o \pm \pi)$.

Fresnelovy rovnice

Fresnelovy rovnice



- Čti [frenel]
- Poměr lomeného a odraženého světla závisí na směru pohledu
 - Shora – více lomeného
 - Ze strany – více odraženého
- Důležité pro realistický rendering skla nebo vody, ale i jiných lesklých materiálů
- Neplést s Fresnelovými čočkami
(používají se pro majáky)



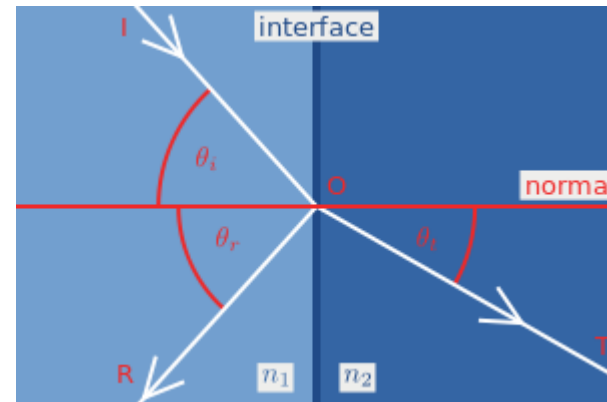
Fresnelovy rovnice

■ Dielektrika

$$R_s = \left| \frac{n_1 \cos \theta_i - n_2 \cos \theta_t}{n_1 \cos \theta_i + n_2 \cos \theta_t} \right|^2$$

$$R_p = \left| \frac{n_1 \cos \theta_t - n_2 \cos \theta_i}{n_1 \cos \theta_t + n_2 \cos \theta_i} \right|^2$$

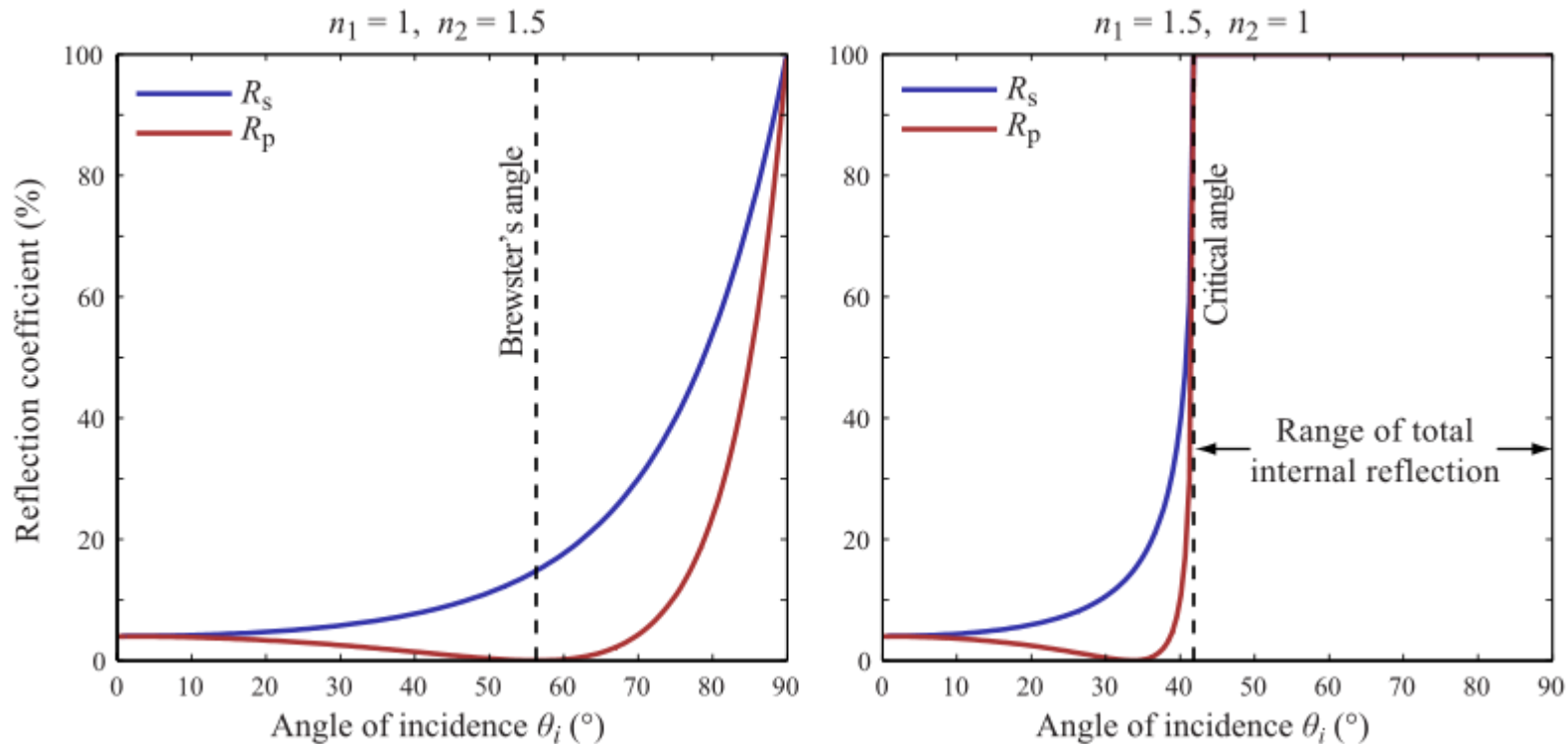
$$R = \frac{R_s + R_p}{2}$$



Zdroj: Wikipedia

Fresnelovy rovnice

■ Dielektrika



Fresnelovy rovnice



Ze strany

- málo lomu
- hodně odrazu

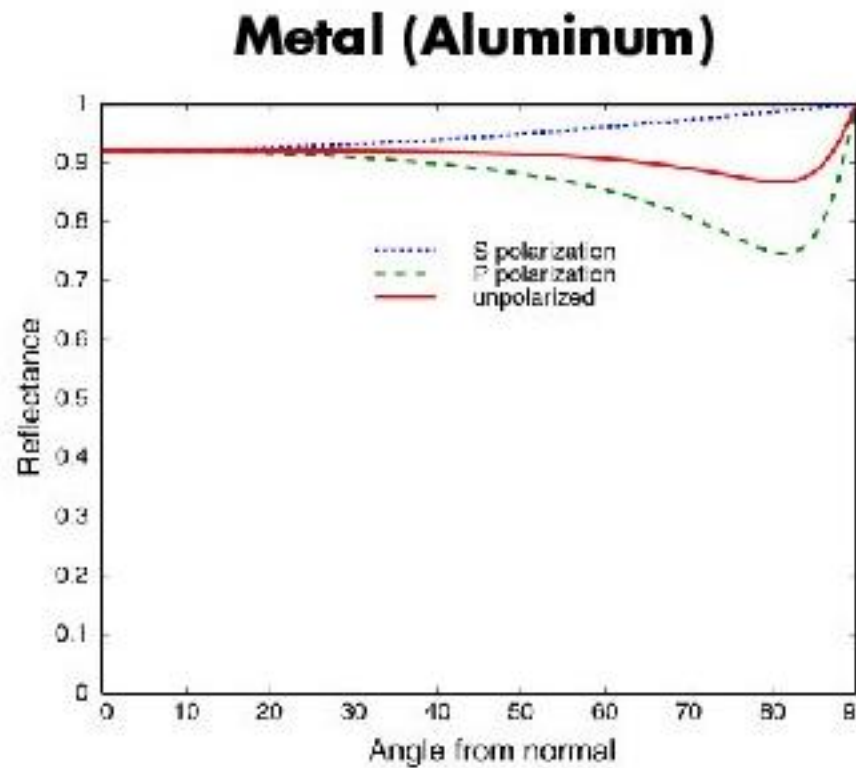
Vyzkoušejte!!!

Shora

- málo odrazu
- hodně lomu

Fresnelovy rovnice

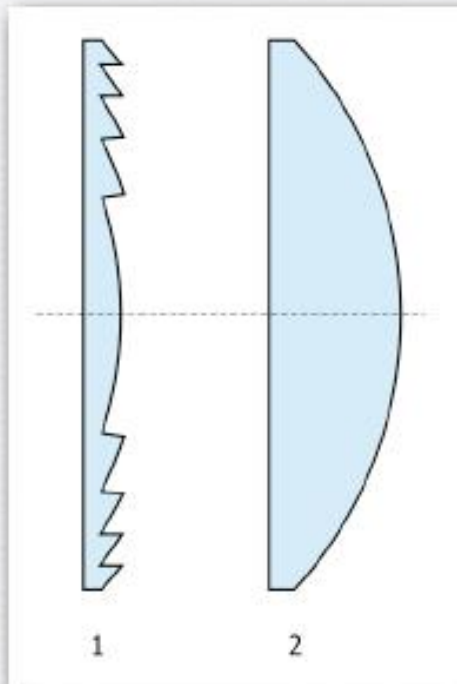
■ Kovy



Gold $F(0)=0.82$
Silver $F(0)=0.95$

Fresnel Lens

- ◆ same refractive power (focal length) as a much thicker lens
- ◆ good for focusing light, but not for making images

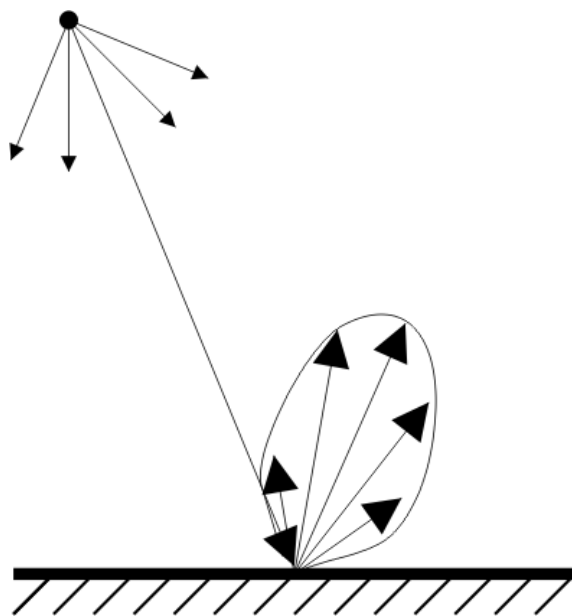


(wikipedia)



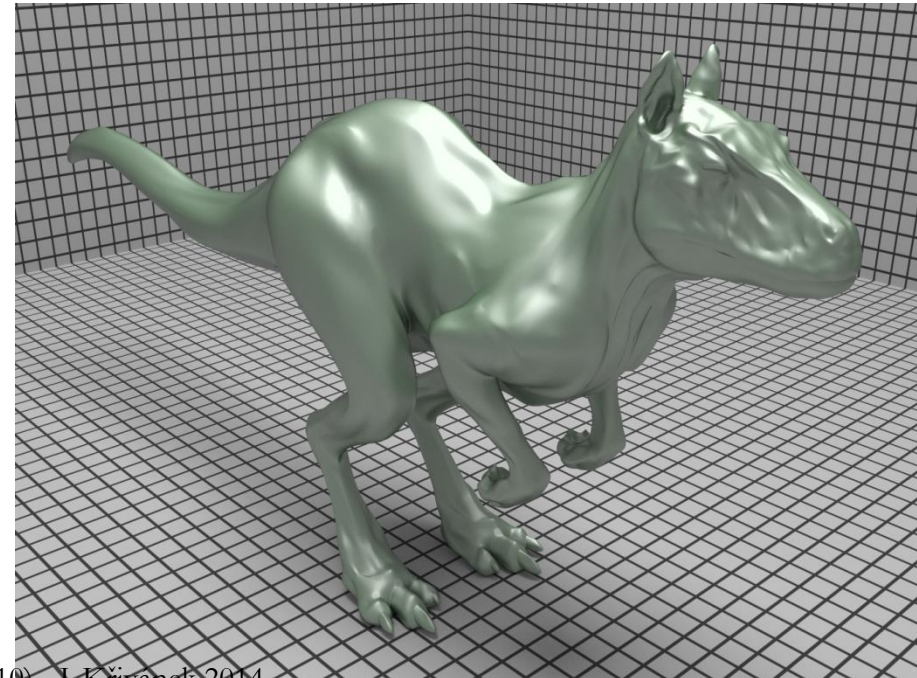
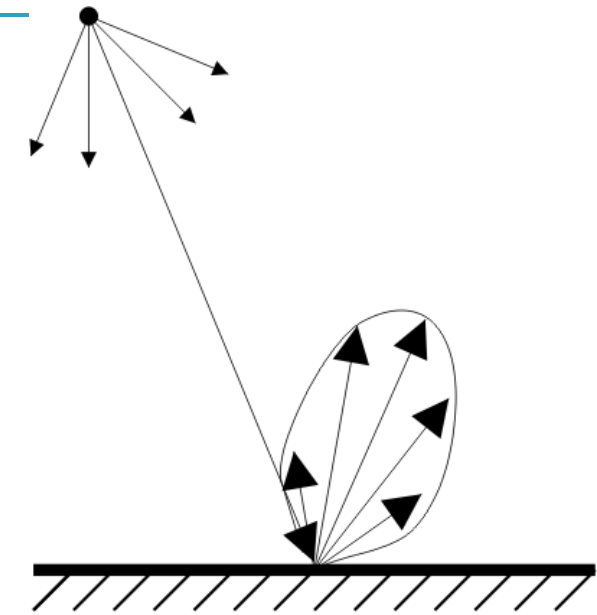
Tyler Westcott, Pigeon Point Lighthouse in light fog,
photographed during the annual relighting of its historical 1KW lantern, 2008
(Nikon D40, 30 seconds, ISO 200, not Photoshopped)

Lesklý odraz

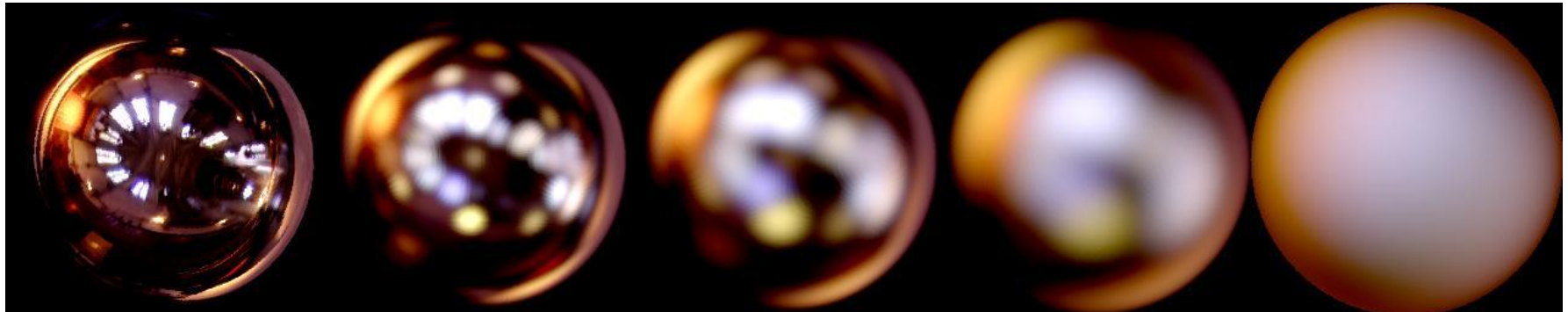


Lesklý odraz

- Ani ideálně difúzní, ani ideálně zrcadlový
- Všechny skutečné materiály spadají do této kategorie

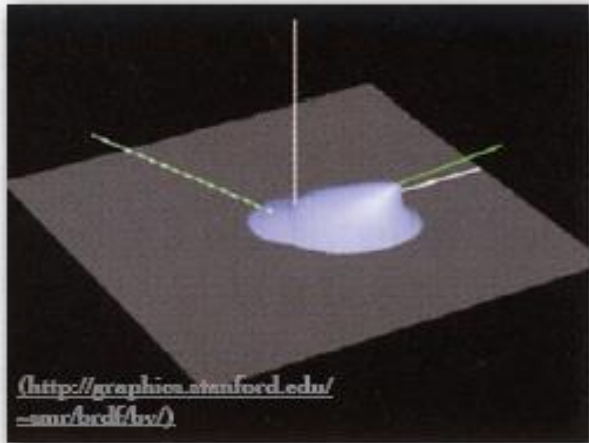


Hrubost povrchu a rozmazané odrazy

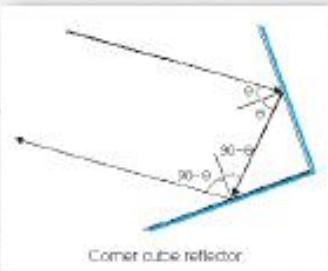


Mikroskopická hrubost povrchu

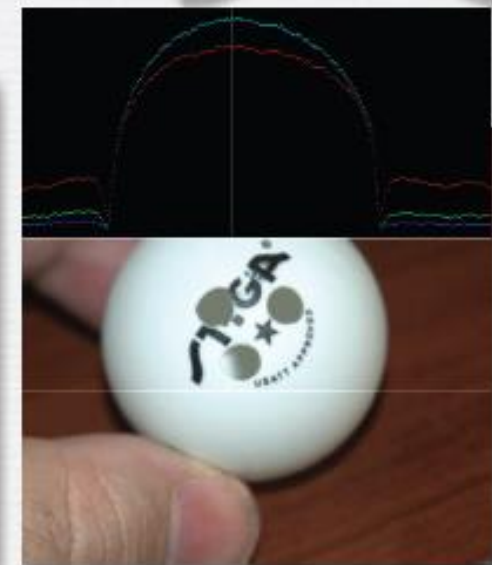
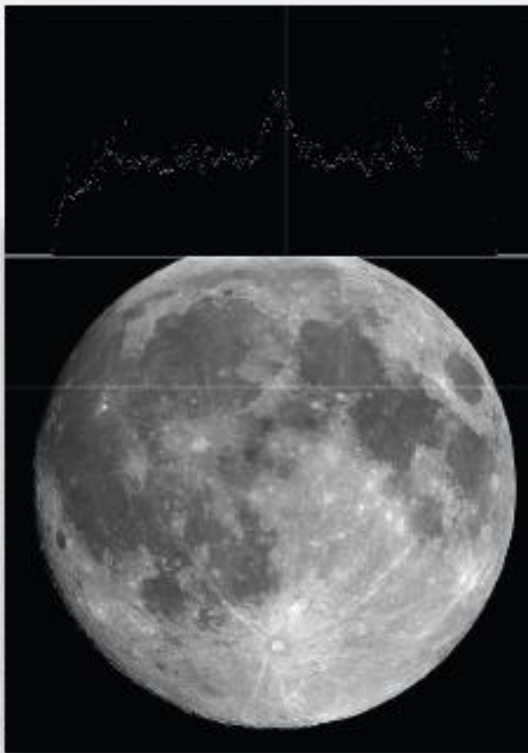
What unusual material property does this goniometric diagram depict?



a full moon is roughly lit from the camera's viewpoint



so is a flash photograph



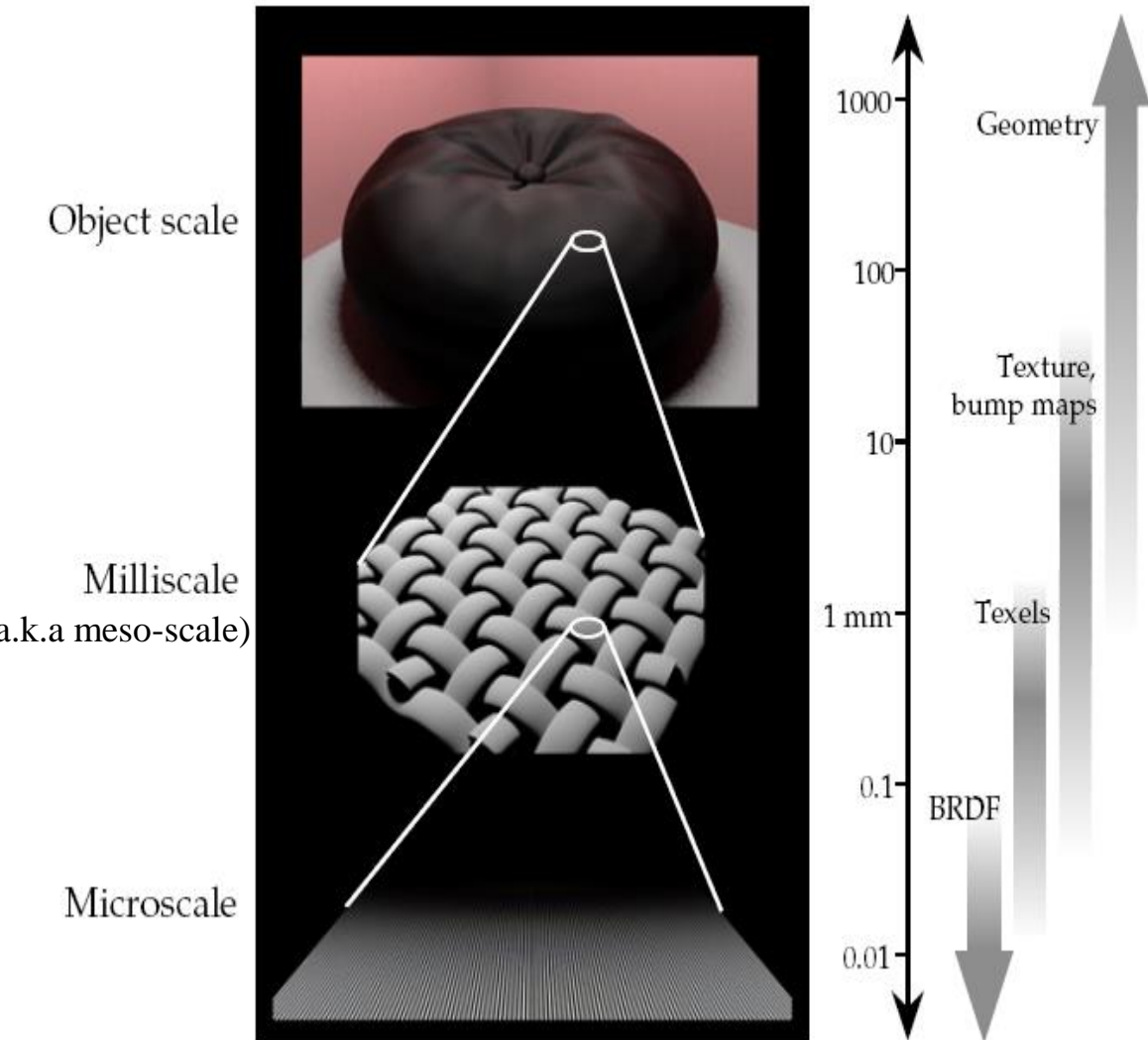
- ♦ A. retroreflectivity
- ♦ the maria of the moon is retroreflective and gray
- ♦ a diffuse object, lit from the camera's viewpoint, falls off as $\cos \theta$

(NASA)

BRDF modely

Modelování BRDF

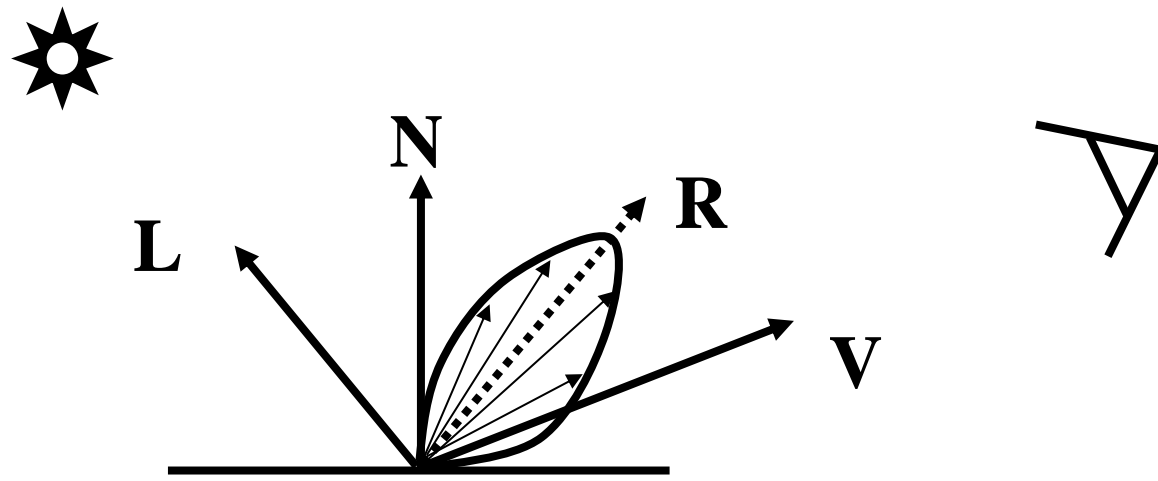
- BRDF je modelem mikrostruktury při pohledu z dálky
- Modely BRDF
 1. Empirické
 2. Fyzikálně motivované
 3. Aproximace měřených dat



Empirické BRDF modely

- Libovolný vzoreček mající za argumenty ω_i a ω_o
- ω_i a ω_o se někdy značí *L* (Light direction) a *V* (Viewing direction)
- Např. Phongův model
- Libovolné stínovací programy (shadery)

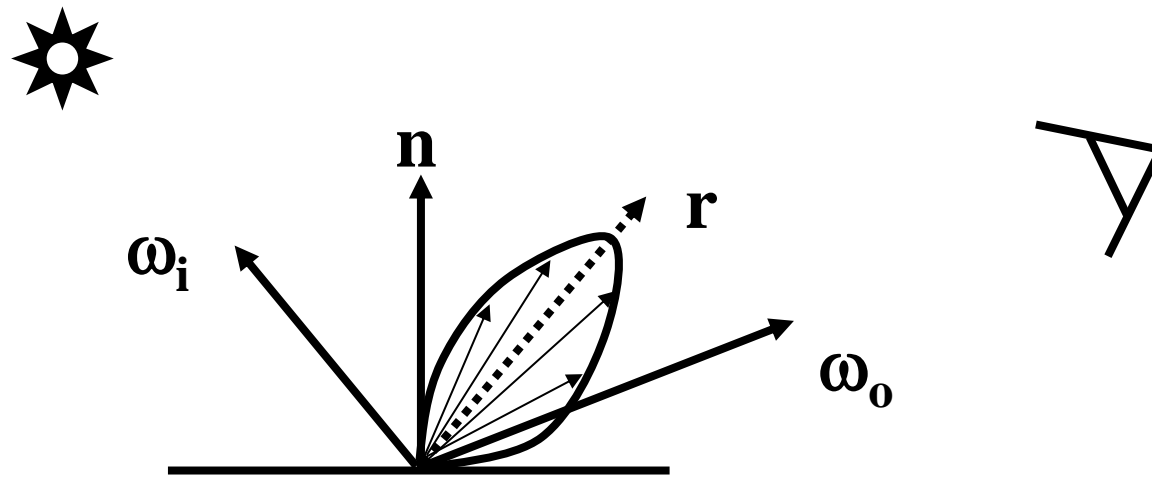
Phongův osvětlovací model



$$C = I \left(k_d (N \cdot L) + k_s (V \cdot R)^n \right)$$

$$R = 2(N \cdot L)N - L$$

Phong v radiometrickém názvosloví



Osvětlovací
model

$$L_o(\omega_o) = L_i(\omega_i) \left(k_d \cos \theta_i + k_s \cos^n \theta_r \right)$$

$$\cos \theta_r = \omega_o \cdot \mathbf{r} \quad \mathbf{r} = 2(\mathbf{n} \cdot \omega_i)\mathbf{n} - \omega_i$$

$$\text{BRDF} \quad f_r = \frac{L_o}{L_i \cos \theta_i}$$

$$f_r^{PhongOrig} = k_d + k_s \frac{\cos^n \theta_r}{\cos \theta_i}$$

Fyzikálně korektní Phongův model

- Modifikace pro zajištění reciprocity a zachování energie

$$f_r^{\text{Phongmodif}} = \frac{\rho_d}{\pi} + \frac{n+2}{2\pi} \rho_s \cos^n \theta_r$$

- Zachování energie:

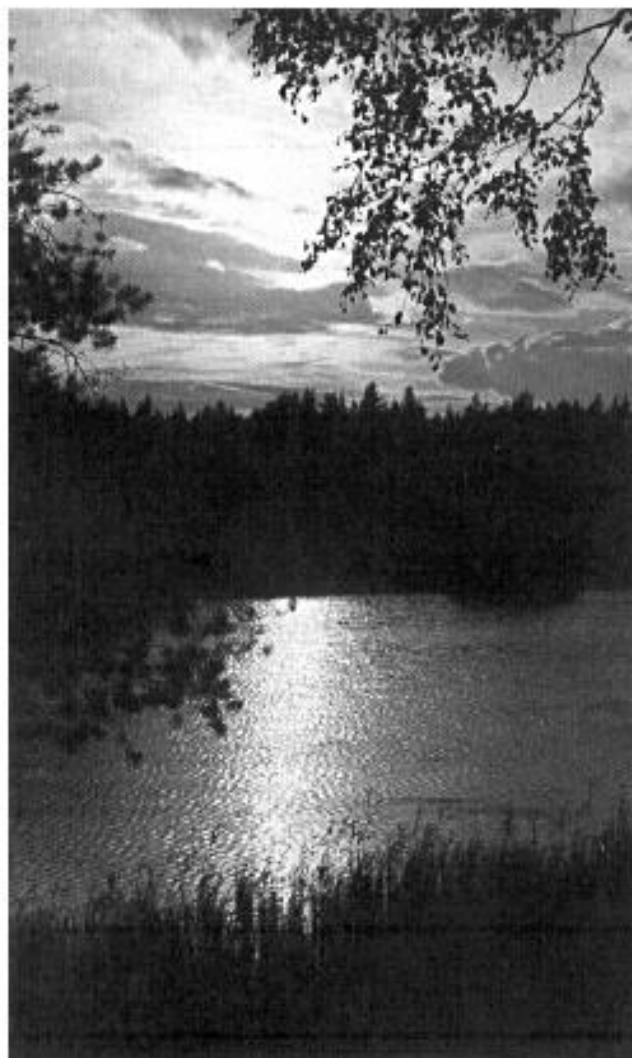
$$\rho_d + \rho_s \leq 1$$

- Stále empirická BRDF (tj. není fyzikálně motivovaná), ale alespoň splňuje základní vlastnosti BRDF

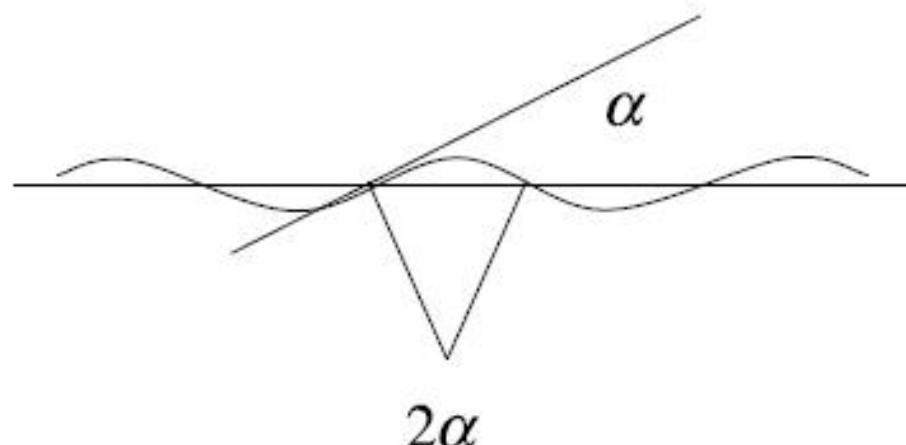
Fyzikálně motivované BRDF modely

- Např. Torrance-Sparrow nebo Cook-Torrance model
- Založeno na teorii mikroplošk (microfacet)
- Funguje pro hrubé plochy

Reflection of the Sun from the Sea



Minnaert, *Light and Color in the Outdoors*, p. 28

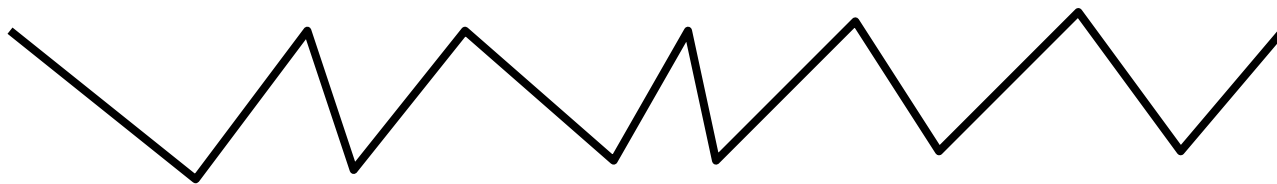


Torrance-Sparrow BRDF

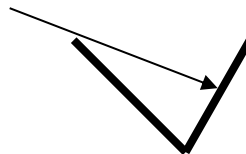
- Analyticky odvozená BRDF
- T-S se používá pro modelování lesklých ploch (jako Phongův model)
 - Přesnější než Phong
 - Lépe odpovídá skutečnosti
 - Odvozena z předpokladů o mikrogeometrii plochy (nikoli „protože vypadá dobře“ jako u Phogova modelu)

Torrance-Sparrow BRDF

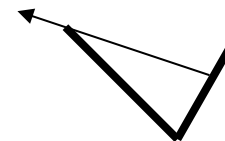
- Předpokládáme, že plocha sestává z náhodně orientovaných plošek, tzv. „mikrofacet“.



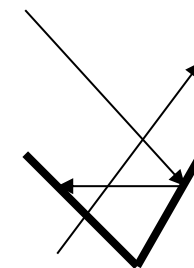
- Předpokládáme, že mikrofacety se chovají jako dokonalá zrcadla.
- Bereme v úvahu 3 jevy:



Zastínění
„Shadowing“



Maskování
„Masking“



Odrazy
„Interreflection“

Torrance-Sparrow BRDF: Výsledek

Fresnelův člen

Závislost na vlnové délce

Geometrický útlum:
Omezení BRDF na základě zastínění a maskování

$$f = \frac{F(\theta_i)G(\omega_i, \omega_r)D(\theta_h)}{4\cos(\theta_i)\cos(\theta_r)}$$

Část makroskopické plochy viditelná zdrojem světla.

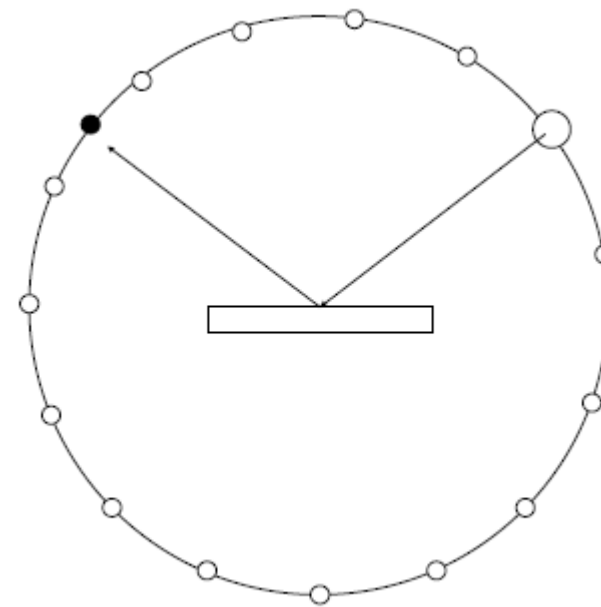
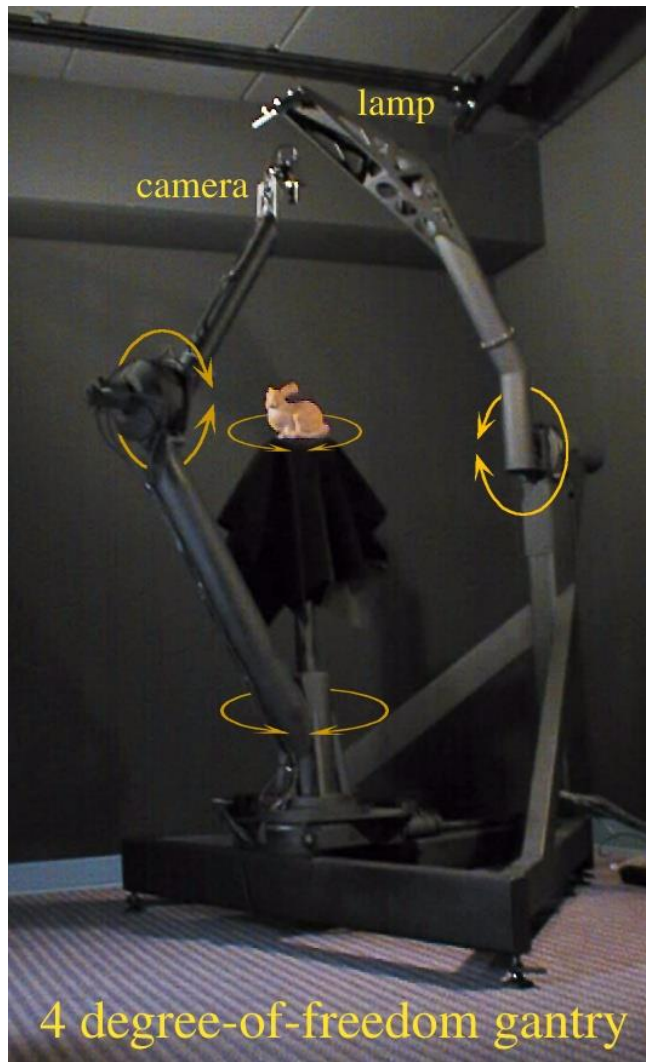
Část makroskopické plochy viditelná pozorovatelem.

Distribuce mikrofacet:
Procento mikrofacet natočených tak, aby odrážely světlo směrem k pozorovateli.

Aproximace naměřených BRDF dat

- Bud' pomocí fyzikálního modelu
- Nebo pomocí funkce navržené pro approximaci naměřených dat: např. Ward BRDF, Lafortune BRDF
- Pro nalezení parametrů BRDF modelu z dat je třeba provést **nelineární optimalizaci**

Měření BRDF - Gonioreflektometr



BRDF modely vs skutečnost

Rendered Images



Reference



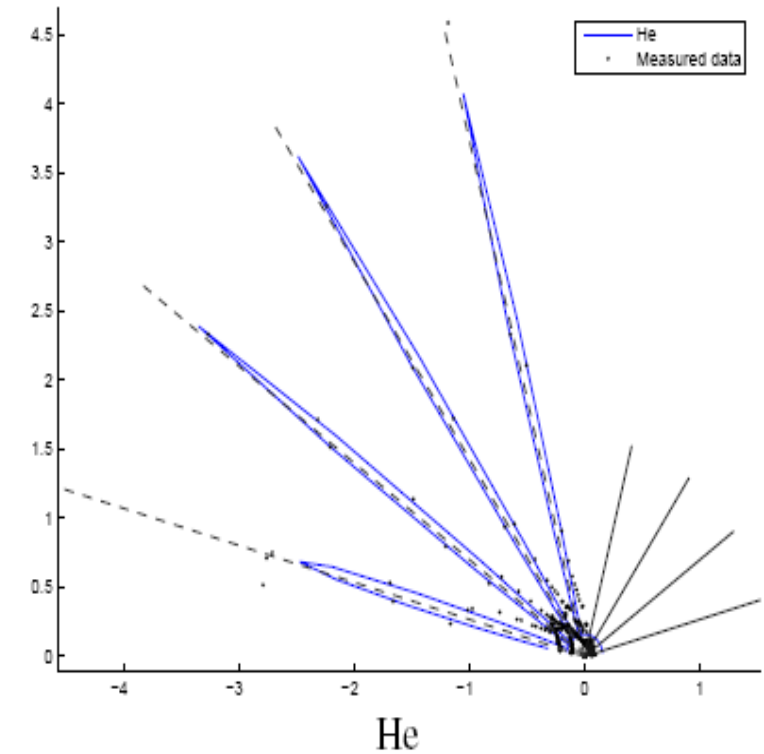
Ward: 0.314



Lafortune: 0.313



CT: 0.314



BRDF modely vs skutečnost



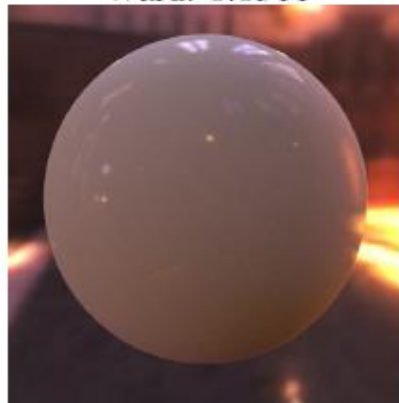
Reference



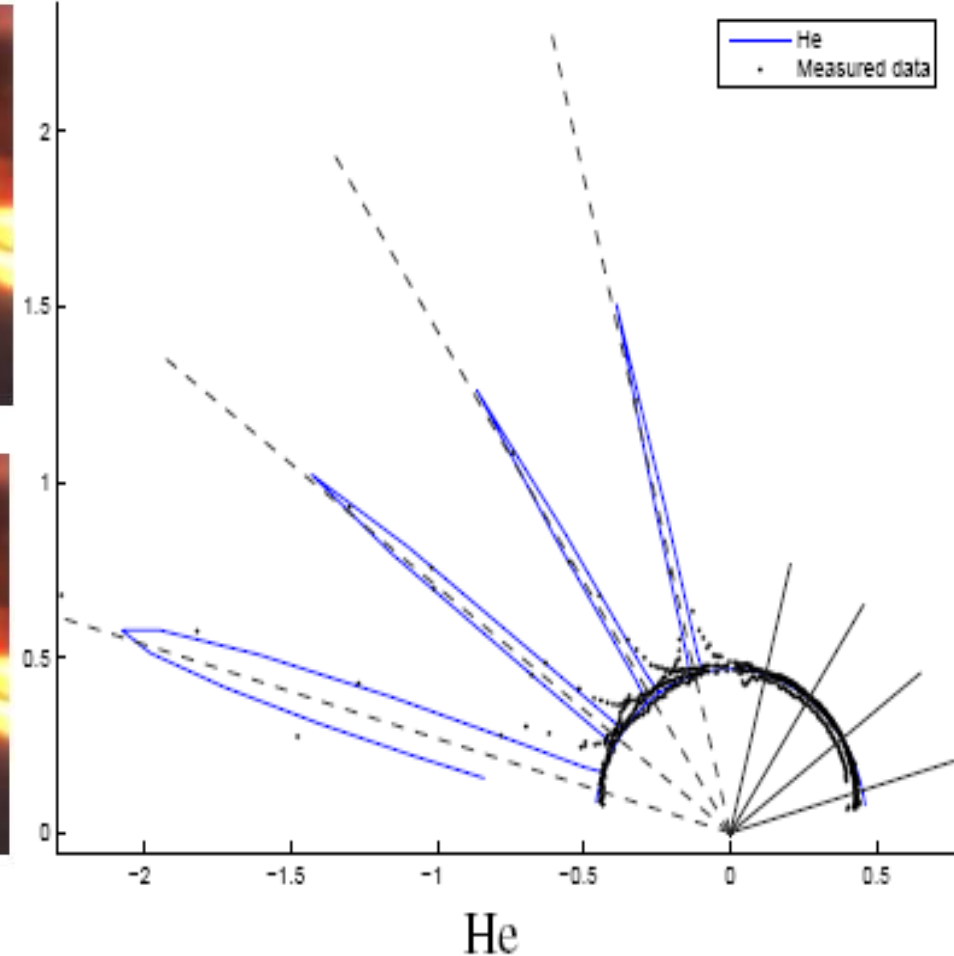
Ward: 0.0311



Lafortune: 0.0231



CT: 0.0221

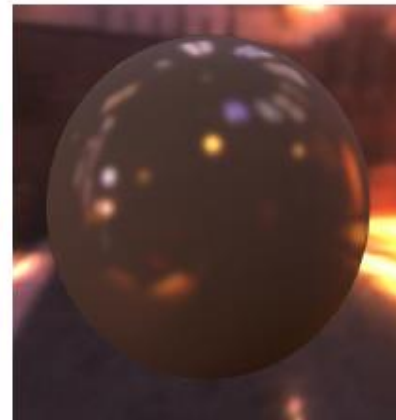


BRDF modely vs skutečnost

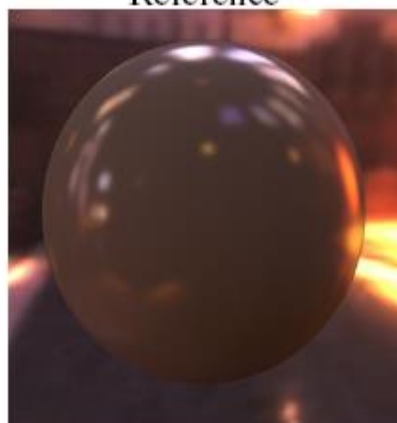
Rendered Images



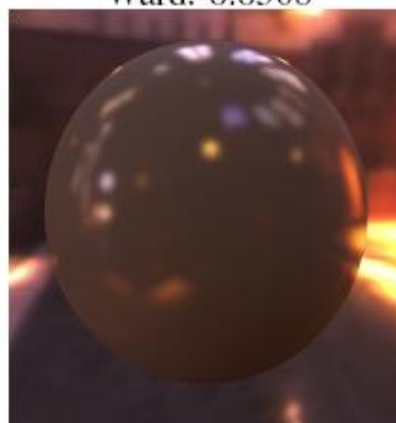
Reference



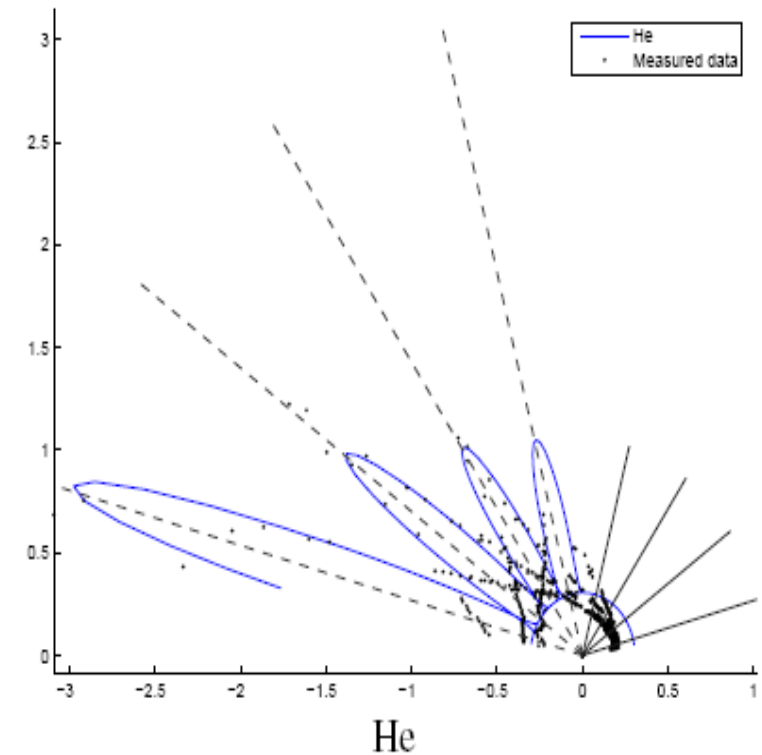
Ward: 0.0568



Lafortune: 0.0486



CT: 0.0434

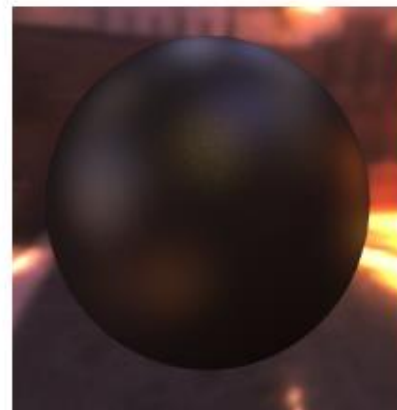


BRDF modely vs skutečnost

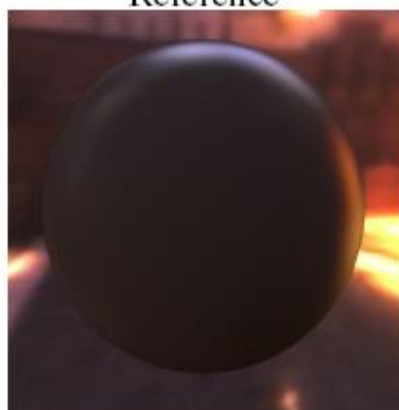
Rendered Images



Reference



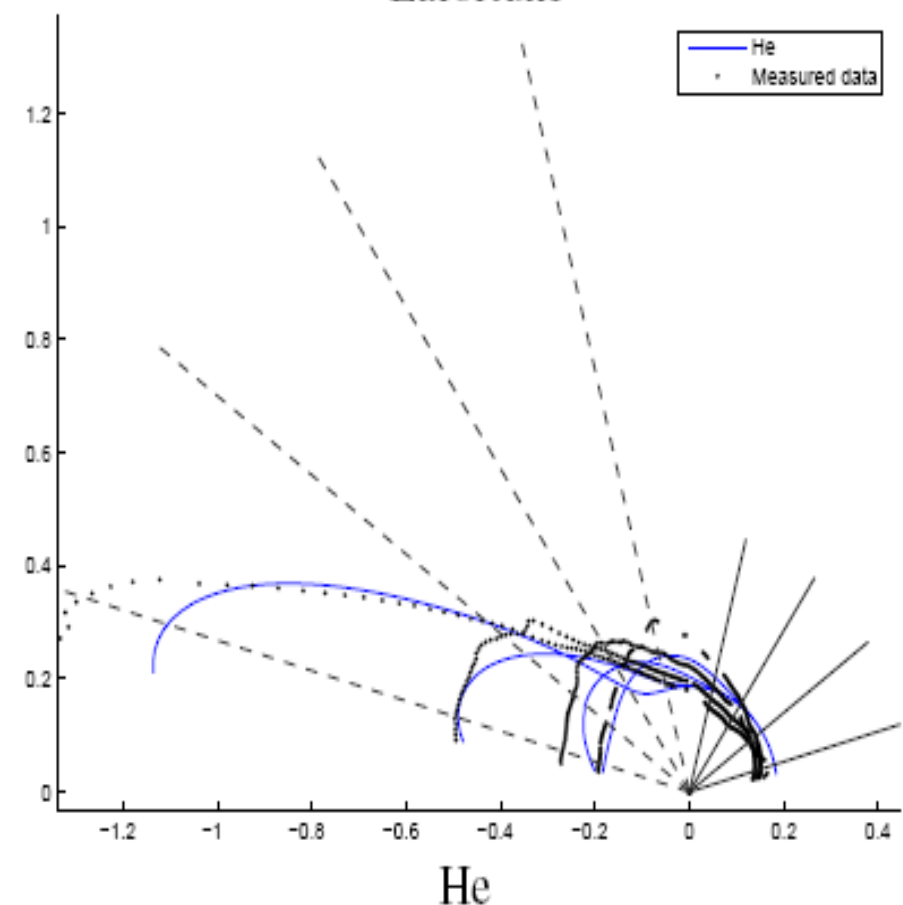
Ward: 0.0137



Lafortune: 0.00755

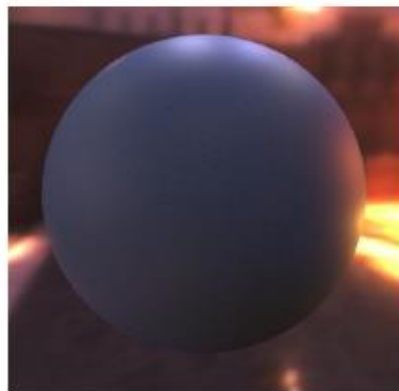


CT: 0.00307



BRDF modely vs skutečnost

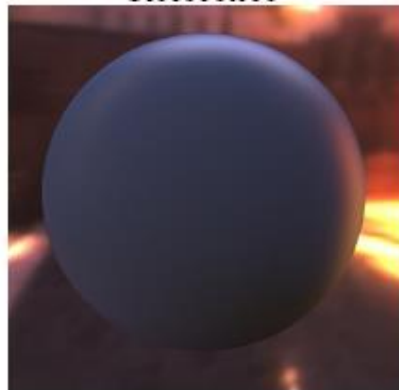
Rendered Images



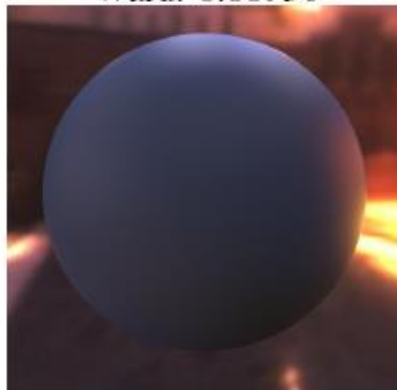
Reference



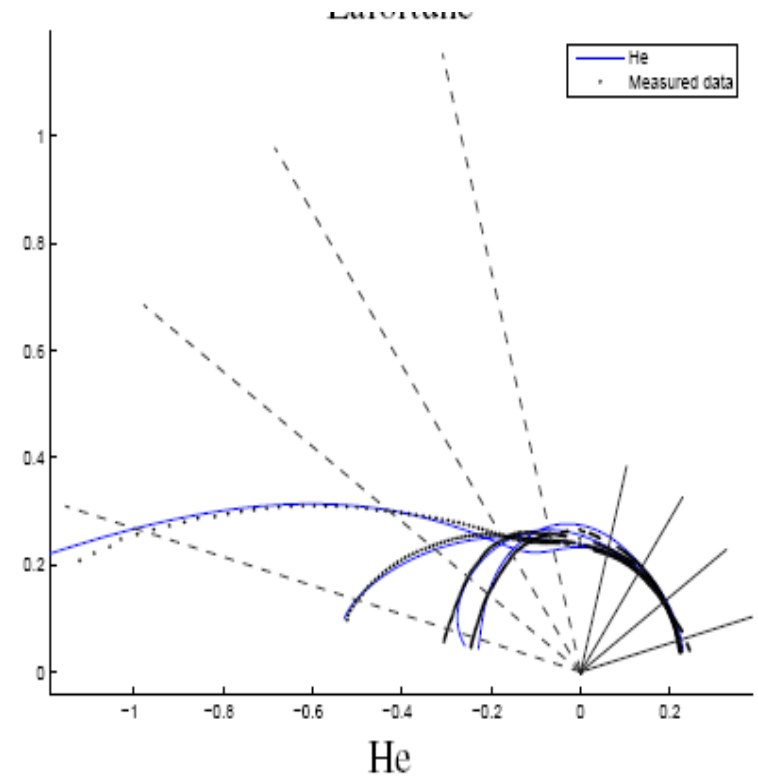
Ward: 0.00956



Lafortune: 0.00513



CT: 0.00139



BRDF modely – Metodologie

- BRDF nahrazuje simulaci světla na mikroskopické úrovni hotovou matematickou funkcí
- Stejný přístup lze použít i pro jiný případ než plochu, např. interakce světla s vlákny vlasů
 - odrazy uvnitř vlákna
 - mikroskopická úroveň = popíše se modelem
 - při renderingu vlasů je už není třeba uvažovat, neboť jsou zahrnuty v modelu



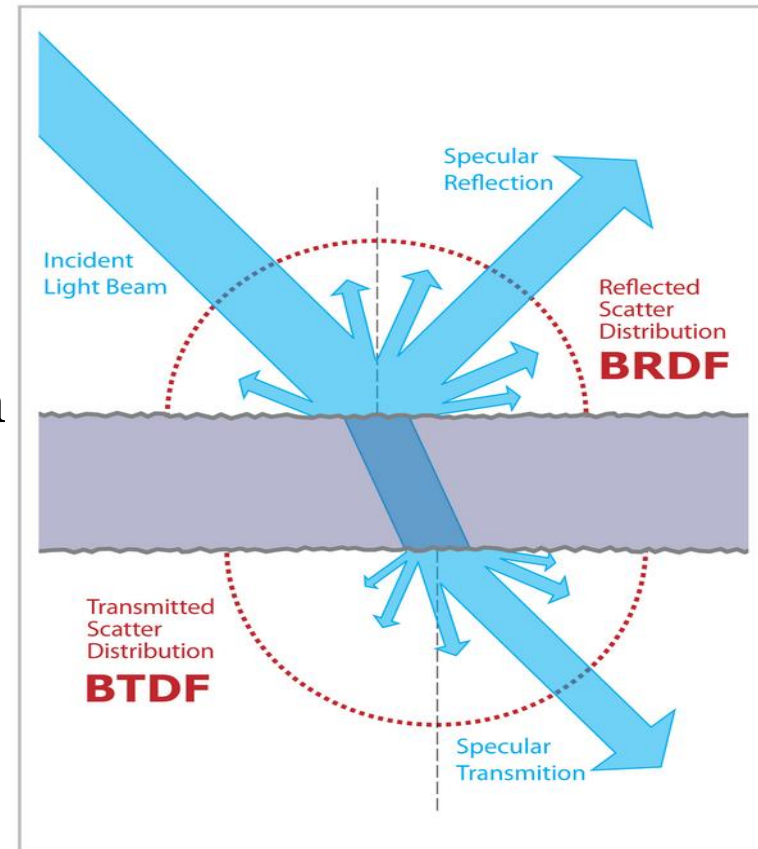
BRDF, BTDF, BSDF: Co to všechno znamená?

■ BTDF

- ❑ Bidirectional **transmittance** distribution function
- ❑ Dvousměrová distribuční funkce lomu
- ❑ popisuje průchod světla povrchem

■ BSDF = BRDF+BTDF

- ❑ Bidirectional **scattering** distribution function
- ❑ Dvousměrová distribuční funkce **rozptylu**



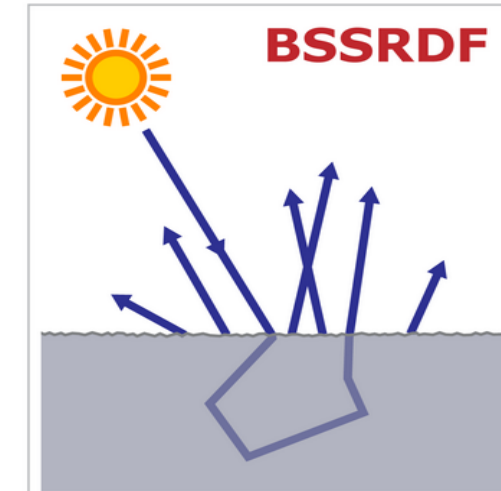
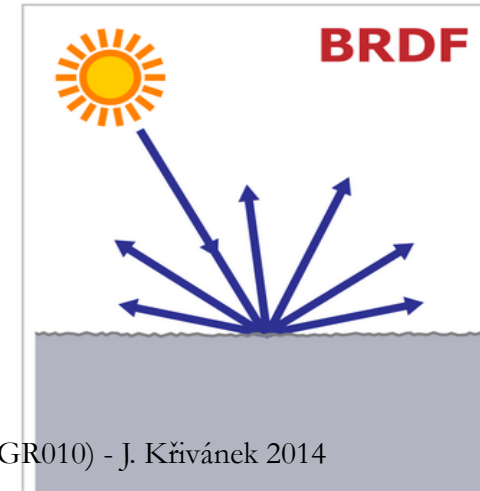
SBRDF, BTF

- **SBRDF ... Spatially Varying BRDF**
 - Parametry BRDF se mění jako fce pozice na povrchu
- **BTF ... Bidirectional Texture Function**
 - Pro materiály se složitou odrazivostí a texturou
 - Na rozdíl od BRDF modeluje materiál i na meso-scale
 - Nahrazuje použití bump map / normal map



BSSRDF

- BRDF
 - světlo přicházející v bodě x se odrazí ve stejném bodě
 - žádné cestování světla po povrchem
- BSSRDF
 - bi-directional **sub-surface scattering** reflectance distribution function
 - modeluje odrazy světla pod povrchem



BSSRDF

- Sub-surface scattering způsobuje změkčení vzhledu materiálů

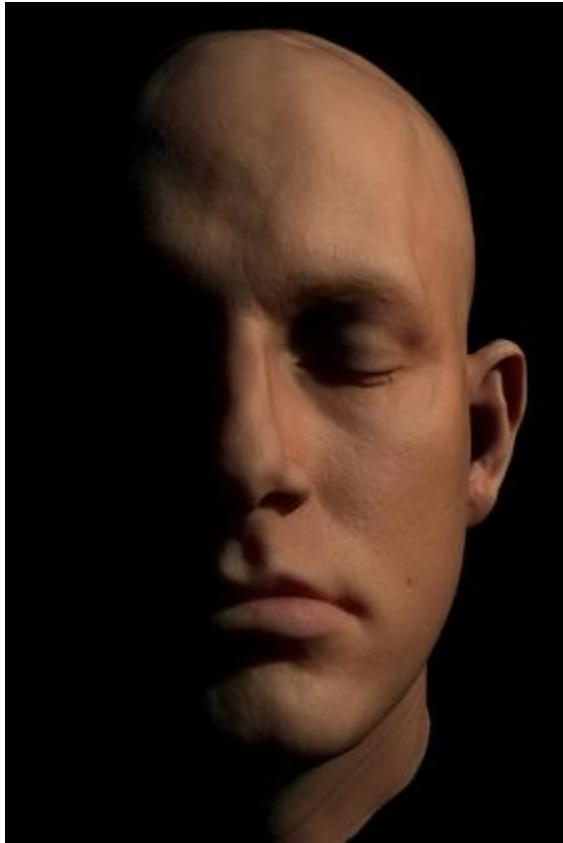


BRDF



BSSRDF

BSSRDF



BRDF

BSSRDF